

بِسْمِ اللَّهِ الرَّحْمَنِ الرَّحِيمِ

جامعة النجاح الوطنية  
كلية الدراسات العليا  
جامعة النجاح الوطنية  
كلية الدراسات العليا

قياس ترکیز ناز الرادیون فی هواء هناظل  
مدينة نابلس القديمة - فلسطين

إعماض الطالب  
ممان محمد درانمة

إشراف  
الدكتور نسان السفاريني

قدمت هذه الدراسة استكمالاً لمتطلبات الحصول على درجة الماجستير في  
الفيزياء بكلية الدراسات العليا في جامعة النجاح الوطنية

نابلس-فلسطين

- 1422 / 2001 -

جامعة النجاح الوطنية

كلية الدراسات العليا

قياس ترکيز غاز المراوح في هواء منازل  
مدينة نابلس القديمة - فلسطين

إسم الطالب

ملاك محمد دراجنة

إشرافه

الدكتور نسان السفاريني

٢٠٠٣/١/٢٧ واجزئه

نوقشت هذه الرسالة بتاريخ: ٢٤/٦/٢٠٠٣

التوقيع

المضاء لجنة المناقشة:

G. Sath  
رسان سفاريني  
متحفنا خارجيا...  
لضوا... سيف الدين

- الدكتور نسان السفاريني
- الدكتور أيمن نظمي العاج حاود
- الدكتور موسى العسن

# الإدلة

إلى ذكرى كل شهيد من شهداء امتنا في تاريخها الطويل، وفي كل قطر

من أقطارها العربية، إلى ذكرى كل شهيد ذاق مرارة الهجرة وضيق

الاغتراب، إلى كل من يحس بعمق النكبة وضرورة الإعداد.

إلى والدي ... والدتي .... واخوتي الأعزاء

إلى أستادي الدكتور غسان السفاريني الذي قام بتوجيهي في هذا

البحث.

# شکر و مکمل

الحمد لله خالق الانسان ، معلمه البيان ، والصلة الدائمة على سيدنا محمد نبيه وصفوته من الانواع ، وعلى آله وصحبه اجمعين ...  
فانني عملت جهدي لاخراج هذا البحث بصورته الالكترونية ، وعلى هذا فانا مدين الى اساتذة قسم الفيزياء ، واحرص بالذكر الدكتور غسان السفاريني الذي اشرف على هذه الرسالة والذي قام بتقديم التوجيهات السديدة لتجنب الكثير من الصعوبات مع شكري الى الدكتور موسى الحسن ، والدكتور فخرى الحسن فاليهم وفاء المعترف بالجميل ، وشكر التلميذ البار .  
وكما اهدي جزيل الشكر الى الدكتور علي أبو صبيح الذي قام بإرشادي في هذا البحث . كما أتوجه بالشكر الى أهالي أهالي مدينة نابلس القديمة على ما قدموه لي من عنون ومساعدة لإتمام هذا البحث .

والحمد لله رب العالمين ، والله خير موفق وبه نستعين والسلام عليكم ورحمة الله وبركاته .

## فهرس المحتويات

الصفحة	الموضوع
١	عنوان الدراسة .....
٢	قرار لجنة المناقشة.....
٣	الإهداء .....
٤	شكر وتقدير .....
٥	فهرس المحتويات .....
٦	فهرس الجداول .....
٧	فهرس الأشكال .....
٨	ملخص الدراسة .....
الفصل الأول: مشكلة الدراسة وخلفيتها.....	
٩	١-١- مقدمة الدراسة.....
١٠	٢-١- دراسات سابقة.....
١١	٢-٣- هدف الدراسة .....
١٢	٣-٤- مواضيع الدراسة .....
الفصل الثاني : الإشعاعات النووية وظاهرة النشاط الإشعاعي.....	
١٣	٤-١- الإشعاعات.....
١٤	٤-٢- طاقة الربط النووي .....
١٥	٤-٣- أنواع التفكك .....
١٦	٤-٤- التفكك الإشعاعي.....
١٧	٥-٢- السلسل الإشعاعية الطبيعية.....
١٨	٦-٢- النشاط الإشعاعي الطبيعي في القشرة الأرضية.....
١٩	٧-٢- الإشعاع الطبيعي داخل جسم الإنسان.....
٢٠	٨-٢- التفاعل الإشعاع المؤين مع الخلية الحية.....
٢١	٩-٢- تأثير الإشعاع في الكائن الحي.....
٢٢	١٠-٢- مصادر الأخطار الخارجية والوقاية منها .....
٢٣	١١-٢- مسببات الأخطار الداخلية .....
٢٤	١٢-٢- طرق دخول المواد المشعة للجسم.....

14	.....	2-13- الوقاية من المصادر الداخلية.....
15	.....	2-14- اللجنة الدولية للوقاية من الإشعاع.....
16	.....	2-15- الكميات المميزة في دراسة الاشعاعات.....
19	.....	2-16- الوحدات المستخدمة لقياس الاشعاعات.....
		<b>الفصل الثالث: غاز الرادون وطرق قياس تركيزه .....</b>
20	.....	3-1- غاز الرادون ومصادره.....
21	.....	3-2- نظائر غاز الرادون .....
22	.....	3-3- مشتقات غاز الرادون وخطرها على الإنسان.....
22	.....	3-4- طرق تقليل غاز الرادون .....
23	.....	3-5- طرق قياس غاز الرادون.....
24	.....	3-6- كواشف الحالة الصلبة .....
24	.....	3-7-آلية تكوين المسارات .....
25	.....	3-8- تطهير المسارات .....
		<b>الفصل الرابع: العمل التجاريبي ونتائج الدراسة .....</b>
23	.....	4-1- مجرى الرادون السلبي .....
29	.....	4-2- مرحلة توزيع المجرائع على مناطق الدراسة .....
30	.....	4-3- تطهير المكافحة وعد المسارات .....
32	.....	4-4- استخراج النتائج .....
32	.....	4-5- عرض النتائج .....
52	.....	<b>الفصل الخامس: مناقشة النتائج .....</b>
63	.....	<b>الفصل السادس: الاستنتاجات والتوصيات .....</b>
65	.....	<b>المراجع: .....</b>
70	.....	<b> الملخص باللغة الإنجليزية (Abstract) .....</b>

## فهرس المداول

الصفحة	الموضوع	الرقم
16	أهم خصائص السلسل الإشعاعية.	1-2
16	المواد المشعة الموجودة طبيعياً داخل الجسم البشري والجرعات الناجمة عنها.	2-2
30	عدد المخاريع الموزعة والمجموعة والمفقودة التي تم توزيعها على أماكن الدراسة.	1-4
33	المعدل والانحراف المعياري لتركيز غاز الرادون والجرعة المكافئة السنوية في حارة الياسمين.	2-4
35	المعدل والانحراف المعياري لتركيز غاز الرادون والجرعة المكافئة السنوية في حارة الشيخ مسلم.	3-4
36	المعدل والانحراف المعياري لتركيز غاز الرادون والجرعة المكافئة السنوية في حارة القيسارية.	4-4
37	المعدل والانحراف المعياري لتركيز غاز الرادون والجرعة المكافئة السنوية في حارة كنيسة السمرة.	5-4
38	المعدل والانحراف المعياري لتركيز غاز الرادون والجرعة المكافئة السنوية في حارة الأربعين.	6-4
39	المعدل والانحراف المعياري لتركيز غاز الرادون والجرعة المكافئة السنوية في حارة سوق الحدالين.	7-4
40	المعدل والانحراف المعياري لتركيز غاز الرادون والجرعة المكافئة السنوية في حارة سوق النصر.	8-4
42	المتوسطات الحسابية والانحرافات المعيارية لتركيز غاز الرادون في المطابخ وغرف النوم وغرف الجلوس في الحرارات المختلفة في مدينة نابلس القديمة.	9-4
43	نتائج تحليل التباين الأحادي لدلالة الفروق بين أماكن قياس الرادون (مطابخ، غرف نوم، غرف جلوس) في حرارات مدينة نابلس القديمة.	10-4
44	نتائج اختبار توكبي للمقارنات البعدية بين المتوسطات الحسابية في تركيز غاز الرادون في المطابخ وغرف النوم، وغرف الجلوس في حارة الياسمين.	11-4

45	نتائج اختبار تيوكى للمقارنات البعدية بين المتوسطات الحسابية في تركيز غاز الرادون في المطابخ وغرف النوم، وغرف الجلوس في حارة الشيخ مسلم.	12-4
46	نتائج اختبار تيوكى للمقارنات البعدية بين المتوسطات الحسابية في تركيز غاز الرادون في المطابخ وغرف النوم، وغرف الجلوس في جميع الحرارات.	13-4
49	المتوسطات الحسابية والانحرافات المعيارية لتركيز غاز الرادون في المطابخ وغرف النوم وغرف الجلوس تتبعاً لمتغير الحرارة.	14-4
49	نتائج تحليل التباين الأحادي لدالة الفروق في تركيز غاز الرادون في الحرارات المختلفة في مدينة نابلس القديمة	15-4
50	نتائج اختبار تيوكى للمقارنات البعدية بين المتوسطات الحسابية في تركيز غاز الرادون في الحرارات والأماكن المختلفة في مدينة نابلس القديمة.	16-4
60	Lung cancer coefficient risk and working level for male in old city of Nablus.	1-5
61	Lung cancer coefficient risk and working level for female in old city of Nablus.	2-5

## ملخص الدراسة

### قياس تركيز غاز الرادون في هواء منازل مدينة نابلس القديمة - فلسطين

هدف هذه الدراسة إلى قياس تركيز غاز الرادون في هواء منازل مدينة نابلس القديمة باستخدام كاشف الحالة الصلبة للمسارات النووية (TASTRAK) المعروفة تجارياً باسم (CR-39) واستخدم في هذه الدراسة (120) م杰راً من مجاري الرادون السليبي وتم توزيعها على أماكن الدراسة. وتركزت لمدة ثلاثة شهور وبعد ذلك تم جمع (89) م杰راً من مجاري الرادون السليبة ومن ثم نزع المكاشف من المجاري ونظفتها كيميائياً باستخدام محلول هيدروكسيد الصوديوم بتركيز (6.25N) ودرجة حرارة مقدارها  $(98 \pm 2)^\circ\text{C}$  لمدة ساعة، ثم استخدم مجهر ضوئي لحساب عدد المسارات في وحدة المساحة لكل كاشف على حده ( $\text{track/cm}^2$ ) ومن ثم حساب تركيز غاز الرادون في كل من أماكن الدراسة.

وكانت النتائج تشير إلى أن معدل تركيز غاز الرادون يتغير بشكل واضح من ( $81.31\text{Bq/m}^3$ ) في حارة الياسمين إلى ( $135.71\text{Bq/m}^3$ ) في حارة الأريون، وقد وجَد أيضاً أن المعدل الكلي لتركيز غاز الرادون في منازل مدينة نابلس القديمة بلغ ( $98.8\text{Bq/m}^3$ ) وينتج عن هذا التركيز جرعة فعالة مكافئة مقدارها ( $4.94\text{mSv/y}$ ) وهي أكبر من المتوسط العالمي للجرعة الفعالة المكافئة والتي تساوي ( $1.3\text{mSv/y}$ ) وقد أمكن الكشف عن تركيز عالي لغاز الرادون في بعض الغرف وكان التركيز فيها أعلى من التركيز المسموح به في الولايات المتحدة الأمريكية والذي يساوي ( $150\text{Bq/m}^3$ )، والسبب في ذلك أن التهوية في هذه الغرف كانت سيئة.

## الفصل الأول

### مشكلة الدراسة وخلفيتها

#### 1-1 مقدمة الدراسة:

يتعرض الإنسان منذ نشأته إلى جرعات إشعاعية معينة صادرة عن البيئة التي يعيش فيها . وتعزى هذه الجرعات بالجرعات الإشعاعية الطبيعية الناتجة عن البيئة . وتعتبر كل من الأشعة الكونية والإشعاعات المحلية الصادرة عن التربة وكذلك المواد المشعة الموجودة ضمن تكوين أجسام الكائنات الحية من أهم مصادر الجرعات الإشعاعية الطبيعية .

ولا تشكل هذه الجرعات الطبيعية خطورة ملحوظة حيث أن كمياتها تكون عادة أقل من الحد المسموح للجرعات، و يقدر متوسط الجرعات الإشعاعية المكافحة التي يتعرض لها معظم البشر من المصادر الطبيعية بحوالي (2.4 mSv/y) ، مع تباين ملحوظ نظراً لتقاويم تلك الجرعات الإشعاعية تفاوتاً كبيراً من منطقة إلى أخرى.

ويعتبر غاز الرادون هو المساهم الأكبر في تعرض الإنسان لمصادر الإشعاع الطبيعي و تمثل جرعة التعرض للرادون بمفردها (50%) من إجمالي الجرعة التي يتعرض لها الإنسان لها سنوياً من جميع المصادر الطبيعية.

وتختلف هذه الجرعة باختلاف المكان وارتفاعه عن سطح البحر وطبيعة التربة ونوع المسكن وعوامل أخرى، وقد تبين من جميع القياسات التي تمت داخل المساكن السكنية وخارجها أن معدلات الجرعة الفعالة داخل السكن تبدو عموماً أعلى من خارج السكن بحوالي (40-45%) في المتوسط . و السبب في ذلك يعود إلى أن مواد البناء المستخدمة في بناء المنازل تحتوي على تراكيز متفاوتة من المواد المشعة الطبيعية.

و يتميز سرطان الرئة كخطر كامن عند تعرض عموم الناس لمنتجات تفكك غاز الرادون داخل المنازل ولقد ثبت أن الجرعة الإشعاعية التي يتعرض لها الإنسان من المواد نفسه أقل بكثير من تلك التي تصله من مشتقات الرادون. ويعود ذلك إلى أن فترة عمر النصف لعنصر الرادون تعتبر طويلة جداً مقارنة بفترة عمر النصف لمشتقاته (1,2,3).

## 1-2 دراسات سابقة:

لقد جذب خطر الرادون المشع على صحة الإنسان اهتمام الوسط العلمي نظراً لما يسببه من أمراض سرطان الرئة حيث تمت عدة دراسات في مختلف أنحاء العالم لقياس تركيز غاز الرادون داخل المنازل . ففي الولايات المتحدة الأمريكية وجد أن معدل تركيز غاز الرادون يساوي  $50 \text{ Bq/m}^3$ <sup>(4)</sup>. وفي إنجلترا كان معدل تركيز غاز الرادون داخل المنازل يساوي  $12 \text{ Bq/m}^3$ <sup>(5)</sup> وفي السويد و ألمانيا الغربية كان معدل تركيز غاز الرادون  $40 \text{ Bq/m}^3$ <sup>(6)</sup> على التوالي . كما أجريت دراسة في المملكة العربية السعودية فكان معدل تركيز غاز الرادون في المنازل يساوي  $10 \text{ Bq/m}^3$ <sup>(7)</sup> .

وكذلك أجريت دراسة في مدن الأردن فكان متوسط تركيز غاز الرادون يتغير من  $(29.4-99.7) \text{ Bq/m}^3$ <sup>(8)</sup>

وأجريت دراسة في فلسطين وقد وجد أن متوسط تركيز غاز الرادون داخل مباني جامعة الخليل يتغير من  $(20.5 \text{ Bq/m}^3)$  إلى  $(41.3 \text{ Bq/m}^3)$  . وقد وجد متوسط تركيز غاز الرادون في مباني الجامعة الأربع يساوي  $(29.8 \text{ Bq/m}^3)$ <sup>(9)</sup> .

ونظراً لعدم وجود دراسات كافية عن تركيز غاز الرادون في فلسطين . فقد وقع اختيارنا على إجراء هذه الدراسة للتعرف على تركيز غاز الرادون في هواء المنازل الفلسطينية في مدينة نابلس القديمة وذلك من أجل زيادة الوعي الصحي لخطر هذا الغاز لما له من آثار سيئة على صحة المواطنين مثل أمراض سرطانات الرئة .

## 1-3 هدف الدراسة:

تسعى الدراسة إلى تحقيق الأهداف التالية:

- التعرف على تركيز غاز الرادون في المطبخ وغرف النوم وغرف الجلوس في أحياء مدينة نابلس القديمة.
- التعرف إلى الفروق في تركيز غاز الرادون بين المطبخ وغرف النوم وغرف الجلوس في الحارات المختلفة في أحياء مدينة نابلس القديمة.
- التعرف إلى الفروق في تركيز غاز الرادون في المطبخ وغرف النوم وغرف الجلوس بين الحارات المختلفة في أحياء مدينة نابلس القديمة.

#### ٤- مواضيع الدراسة :

يتناول الفصل الأول مقدمة الدراسة الرامية للتعرف على المشكلة وأهدافها، أما الفصل الثاني فإنه يستعرض التعرف على الإشعاعات النووية و النشاط الإشعاعي و تأثيرهما على الكائن الحي و طرق الوقاية منهما. كما يتناول الفصل الثالث غاز الرادون ومصادره ومشتقاته ومخاطرها وطرق الوقاية منه وطرق قياس تركيزه ويعرض الفصل الرابع العمل التجربى ونتائج الدراسة وتحليلها أما الفصل الخامس فسيتم مناقشة النتائج و التعليق عليها، وأخيراً يحتوى الفصل السادس الاستنتاجات والتوصيات.

## الفصل الثاني

### الإشعاعات النووية وظاهرة النشاط الإشعاعي

#### 1-2 الإشعاعات :

اكتشف هنري بيكرييل سنة 1896 م ظاهرة النشاط الإشعاعي الطبيعي للبيورانيوم ، وقد وجد أن هذا النشاط الإشعاعي لا يعتمد على الحالة الفيزيائية و الكيميائية للمادة ، بل هو من الصفات الذرية التلقائية لعناصر البيورانيوم . ولقد أكملت كوري البحث في خاصية النشاط الإشعاعي لعدد من العناصر الأخرى فأكتشف ثلاثة عناصر أخرى نشطة إشعاعياً أهمها عنصر الراديوم.

و يتميز الكثير من النظائر سواء الطبيعية أو الصناعية ( أي المجهزة باستخدام المفاعلات أو المعجلات النووية ) بخاصية النشاط الإشعاعي (radioactivity) وظاهرة النشاط الإشعاعي هي عبارة عن تفكك (decay) تلقائي لنواء النظير مع إصدار جسيمات نووية مثل جسيمات ألفا و بيتا متبوعة بإشعاعات جاما أحياناً.

و تعرف النظائر التي يحدث فيها هذا التفكك بالنظائر المشعة. و تحدث عملية التفكك في النظائر سواء أكانت في صورة نقية أو ضمن مركبات كيميائية. كما أن عملية التفكك لا تعتمد إطلاقاً على الظروف الطبيعية مثل الحرارة و الرطوبة و حالة النظير<sup>(5)</sup>.

#### 2-2 طاقة الرابط النووي *Binding Energy of the Nucleus*

تحتوي النواة على عدد معين من البروتونات الموجبة الشحنة مما تولد بين هذه البروتونات قوى تناقض كهروستاتيكية تتناسب عكسياً مع مربع المسافة بينهما، وحيث أن المسافة بين البروتونات في النواة صغيرة للغاية فإنه من المتوقع أن تكون قيمة قوى التناقض كبيرة للغاية، بحيث أن النواة لا تتكون ، وإذا تكونت فإنها سرعان ما تفكك ولكن بقاء النواة متماسكة يعني أن هناك قوى أخرى للجذب أقوى من قوى التناقض. وهذه القوى تعرف بالقوى النووية وهي تؤثر بين كل من بروتون وبروتون أو نيوترون ونيوترون ، وكذلك بين البروتون والنيوترون إذا وجدت هذه الجسيمات بجوار بعضها ، وقد ثبت فيما بعد أن القوى النووية بين كل هذه الجسيمات مهما

يكن نوعها متكافئة . لذلك فانه من الناحية النووية يمكن اعتبار كل من البروتون و النيوترون جسمًا واحدا يطلق عليه اسم نيوكلون (nucleon).

وهكذا تجذب النيكليونات بعضها البعض ما دامت المسافة بين النيكليونات صغيرة (أقل من  $10^{-13} \text{ cm}$ ) فيؤدي ذلك إلى ترابط هذه النيوكلونات وتكون البناء المترابط المعروف باسم النواة . ولكي تتفكك النواة إلى النيوكلونات المكونة لها فإنه يجب منحها كمية معينة من الطاقة . إذ أنه نتيجة لوجود طاقة الترابط تقل كثة النواة عن مجموع كتل النيوكلونات المكونة لها ويمكن حساب طاقة الرابط حسب العلاقة التالية :-

$$B = (NM_n + ZM_p - M)C^2 \quad (1-2)$$

حيث أن:

$B$ : طاقة الرابط النووية       $M$ : كثة النواة

$M_p$ : كثة البروتون       $M_n$ : كثة النيوترون

$Z$ : عدد البروتونات       $N$

و تعتبر قيمة طاقة الترابط للنيو كلون الواحد بمثابة مقياس لمدى تماسك و استقرار النواة . فكلما زادت هذه القيمة كانت النواة متمسكة و مستقرة ، وكلما قلت هذه القيمة فان هذا يعني أن النواة أكثر تفككاً و غير مستقرة <sup>(10)</sup>.

### 3-2 أنواع التفكك types of decay

#### 3-2-1 تفكك ألفا $\alpha$ -decay

تتميز أنوبيه العناصر الثقيلة بانخفاض قيمة طاقة الترابط لكل نيوكلون في النواة . لذلك فان هذه الأنوية غير مستقرة و تتفكك إلى أنوبيه أخف و أكثر استقراراً . ويعتبر جسيم ألفا نواة عنصر الهيليوم . وعندما ينبعث من نواة عنصر ثقيل بروتونين ونيوترونين فان هذه النواة تكون قد خسرت جسماً من جسيمات ألفا فيتحول العنصر إلى عنصر آخر جديد ، و يكون النقص في العدد الكتلي مقداره أربعة ، أما النقص في العدد الذري يكون مقداره اثنين . فمثلاً عند انطلاق جسيم ألفا من نواة عنصر اليورانيوم ( $^{238}\text{U}$ ). فان هذه النواة تتحول إلى نواة عنصر آخر هو الثوريوم ( $^{234}\text{Th}$ ) كما في المعادلة التالية :



ولكي تكون النواة مشعة لجسيم ألفا ( $\alpha$ -Particles) يجب أن تكون كتلتها أكبر من مجموع كتلتي النواة الوليدة (daughter nucleus) و جسيم ألفا ( $\alpha$  - particles ) أي يجب أن يتحقق الشرط التالي :

$$(M_p - M_d + M_\alpha) > 0$$

حيث أن :

$M_p$  : كتلة النواة الأصلية ،  $M_d$ : كتلة النواة الوليدة

$M_\alpha$  : كتلة جسيم ألفا

ولا يتحقق هذا الشرط إلا لأنوبيه بعض العناصر الأقل من عنصر الرصاص . أما أنوبيه العناصر الأخف فإنها تكون مستقرة بالنسبة لإصدار جسيمات ألفا.

و تجدر الإشارة إلى أن طاقة جسيمات ألفا الصادرة عن نظير معين تتحذ قيمة واحدة ، ولكن إذا تكونت النواة الوليدة (daughter nucleus) في حالات مختلفة من الإثارة فعندئذ تكون طاقات جسيمات ألفا مختلفة و لكنها ذات قيم محددة ، ويمكن حساب طاقة جسيمات ألفا الصادرة من نظير معين باستخدام علاقة اينشتين لتكامل الكتلة و الطاقة حيث أن الطاقة الناتجة عن التفكك تعطى بالعلاقة التالية :-

$$Q = \{ (M_p - (M_d + M_\alpha)) C^2 \} \quad (3-2)$$

و تتوزع هذه الطاقة بين جسيم ألفا و النواة و الوليدة بحسب معاكسه لكتلها . وذلك طبقاً لقانون حفظ الزخم ، أي أن جسيم ألفا يحمل الجزء الأكبر من الطاقة الناتجة عن التفكك في حين تحمل النواة الوليدة جزءاً صغيراً من هذه الطاقة <sup>(11)</sup>.

### 2-3-2 تفكك بيتا $\beta$ -decay

تحدث عملية تفكك بيتا ( $\beta$ -decay) في النوى المشعة بسبب وجود خلل في النسبة بين البروتونات و النيوترونات و لا تمثل النواة الطاقة اللازمة لطرد نوبه لتعديل النسبة لذلك يتحول بروتون إلى نيوترون أو يحدث العكس لتعديل النسبة و يوجد ثلاث حالات مختلفة :

### 3-3-2 التفكك الإلكتروني (*Electron decay*)

يتحول في هذه العملية نيوترون إلى بروتون داخل النواة و تطلق أشعة بينا السالبة (الإلكترونات) لكي تصبح النسبة بين النيوترونات و البروتونات مستقرة ويعبر عن هذا التفكك كالتالي:



### 4-3-2 التفكك البوزيتروني (*Positron decay*)

في بعض الأحيان تكون نسبة النيوترونات إلى البروتونات في النظير المعين أقل من النسبة التي تحقق الاستقرار . وفي هذه الحالة يتحول أحد بروتونات النواة إلى نيوترون نتيجة لذلك بوزيترون يحمل شحنة البروتون الموجبة ويعرف تفكك بيّنا في هذه الحالة بالتفكير البوزيتروني ويعبر عنه بالعلاقة الآتية:



### 5-3-2 الأسر الإلكتروني ( *Electron capture* )

يمكن أن يحدث تحول إحدى بروتونات النواة إلى نيوترون بطريقة أخرى ويتم ذلك بـ ان تأسـرـ النـواـةـ إـلـكـتـرـوـنـاـ منـ إـلـكـتـرـوـنـاتـ المـارـيـةـ الـقـرـيـةـ مـنـ النـواـةـ ( أيـ مـنـ المـارـ Kـ وـفـيـ أحـيـانـ قـلـيـلةـ مـنـ المـارـ Lـ )ـ وـيـتـحـدـ هـذـاـ إـلـكـتـرـوـنـ الـمـاسـورـ مـعـ أحـدـ بـرـوـتـوـنـاتـ فـيـتـكـونـ نـيـوـتـرـوـنـ وـفـيـ هـذـاـ حـالـةـ لـأـتـصـدـرـ النـواـةـ لـأـيـ مـنـ جـسـيـمـاتـ بـيـّـنـاـ وـيـعـرـفـ تـفـكـكـ بـيـّـنـاـ فـيـ هـذـاـ حـالـةـ بـالـأـسـرـ إـلـكـتـرـوـنـيـ وـيـعـرـفـ عـنـهـ كـالـآـتـيـ :



ولقد ثبت فيما بعد أنه عند حدوث أي نوع من تفكك بيّنا ينطلق من النواة جسيمات تعرف باسم النيوترينو (neutrino). و النيوترينو (neutrino) جسيم متعادل الشحنة و كثافة السكون له مساوية للصفر تقريباً ( $m_\nu = 0$ ) والنيوترينو المضاد جسيم إذا تلاقى مع جسيمه فإنهما يفنيان و ينتج عن هذا الفناء طاقة في شكل إشعاعات كهر ومغناطيسية و يمكن معرفة إذا كان النظير المعين مستقر أو غير مستقر بالنسبة لنوع الأول من تفكك بيّنا بتحقق الشرط التالي:-

$$z M^A > (z+1) M^A + m_e \quad (7-2)$$

حيث أن:

$M_z$ : كتل النواة الأصلية.

$M_{z+}$  : كتلة النواة الوليدة.

$m_e$  : كتلة الإلكترون.

### 6-3-2 تفتك جاما ( $\gamma$ - decay)

عند حدوث تفتك ألا أو ببأنا تكون الأنوية الوليدة في حالة مثارة. (exited state) ويرجع ذلك إلى أن طاقة مكونات النواة تكون أعلى من طاقتها في الحالة المستقرة (ground state). أي أن كتلة النواة في الحالة المثاره تكون أعلى من كتلتها في الحالة المستقرة ، فتنقل النواة من الحالة المثاره إلى الحالة أقل إثارة أو إلى الحالة المستقرة بإصدار إشعاعات كهرومغناطيسية تعرف باسم إشعاعات جاما<sup>(12)</sup>.

### 4-2 التفتك الإشعاعي (Radioactive decay)

يعتبر التفتك الإشعاعي عملية إحصائية خاضعة لقوانين الفيزياء الإحصائية إذ أنه ليس بالإمكان توقع النواة أو الأنوية التي يمكن أن تتفتك في لحظة معينة . ويمكن التعرف على القوانين الذي تتفتك بموجبه الأنوية انتلاقاً من النظرة الإحصائية .

### 4-4-2 قانون التفتك الإشعاعي ( Radioactive decay law )

من المعروف أن نواة العنصر المشع تتضمن تلقائياً وينتج عن هذا الأضمحلال تغيير في طبيعة النواة . وبطريق على احتمال تفتك نواة معينة في الثانية ثابت الأضمحلال ( $\lambda$ ) حيث أن  $(1 < \lambda < 0)$  ويكون تفتك هذه النواة خلال فترة زمنية قصيرة مقدارها  $(dt)$  هو  $(\lambda dt)$  .

فإذا كان عدد النويات النشطة التي لم تتفتك بعد هو  $N$  فإن احتمال التفتك لكل النويات خلال الزمن  $dt$  هو  $(N\lambda dt)$  أي أن عدد النويات  $dN$  التي يمكن أن تتفتك خلال هذا الزمن هو :

$$dN = -N\lambda dt \quad (8-2)$$

والإشارة السالبة تعني أن عدد النويات  $N$  الباقية دون تفتك يقل كلما زاد الزمن .

وبقسمة طرفي المعادلة على  $N$  وأخذ تكامل الطرفين مع اعتبار أن عدد النويات النشطة عند الزمن  $(t=0)$  هو  $N_0$  ينتج أن:

$$N(t) = N_0 e^{-\lambda t} \quad (9-2)$$

حيث أن  $N(t)$  عدد النويات المتبقية دون تفكك حتى اللحظة  $t$ .

#### 2-4-2 الشدة الإشعاعية للعينة :

يطلق على عدد النويات التي تتفكك في الثانية الواحدة من عينية مشعة اسم الشدة الإشعاعية للعينة .

أي أن الشدة الإشعاعية للعينة تعطي بالعلاقة التالية :—

$$\begin{aligned} A(t) &= \frac{dN(t)}{dt} = \lambda N(t) \\ |A(t)| &= \lambda N(t) \end{aligned} \quad (10-2)$$

وبتعويض معادلة (9-2) في المعادلة (10-2) ينتج :

$$A = A_0 e^{-\lambda t} \quad (11-2)$$

حيث :  $A$ : الشدة الإشعاعية للعينة

$A_0$  : الشدة الإشعاعية للعينة عند  $t = 0$ .

#### 3-4-2 فترة عمر النصف

هو الزمن اللازم لتفكك نصف عدد نوى العينة أي أن

$$N(t) = N_0 / 2 \quad (12-2)$$

$$N(t) = N_0 e^{-\lambda t} \quad \text{وعند الزمن } (T=t_{1/2}) \quad (13-2)$$

وبتعويض معادلة (13-2) في معادلة (12-2) ينتج أن <sup>(13.3)</sup> :—

$$\begin{aligned} N_0 e^{-\lambda t} &= N_0 / 2 \\ t_{1/2} &= \frac{0.693}{\lambda} \end{aligned} \quad (14-2)$$

#### 5-2 السلسلة الإشعاعية الطبيعية Natural Radioactive series

تتميز نوى جميع النظائر التي عددها الذري أكبر من (82) بعدم الاستقرار إشعاعياً، والسبب في ذلك زيادة عدد البروتونات في النواة مما يجعل قوى التناقض الكهروستاتيكية كبيرة. ويؤدي هذا بدوره إلى تفكك بعض النظائر عن طريق إصدار جسيمات ألفا، ونتيجة لإصدار هذه

الجسيمات تزداد نسبة النيوترونات إلى بروتونات في النواة مما يؤدي إلى تفكك هذه النوى الوليدة عن طريق إصدار جسيمات بيتا.

وتوجد في الطبيعة ثلاثة مجموعات تعرف بسلسلة الإشعاع الطبيعي وهي سلسلة اليورانيوم ( $U^{238}$ )، سلسلة الأكتينيوم، سلسلة الثوريوم ( $Th^{234}$ ) ، وهناك مجموعة رابعة هي سلسلة النبتونيوم وهي لا توجد في الطبيعة لأن العمر النصفي لأطوال عناصرها عمرها هو ( $2.2 \times 10^6$ .year) وهو أقل بكثير من عمر الكون ، والذي يقدر بحوالي ( $3 \times 10^9$  year) سنة ويبين الجدول (1-2) أهم خصائص هذه السلسلة.

## 2-6 النشاط الإشعاعي الطبيعي في القشرة الأرضية:

تحتوي القشرة الأرضية على كميات ضئيلة من النويدات المشعة طويلاً عمر مثل اليورانيوم ( $U^{238}$ )، والليورانيوم ( $U^{235}$ )، والثوريوم ( $Th^{232}$ ) ونوياته الوليدة، كما تحتوي على كميات قليلة من نظير البوتاسيوم ( $K^{40}$ ) المشع الذي يبلغ عمره النصفي ( $3 \times 10^{10}$  year). وتتفق هذه النويدات مصدرة جسيمات ألفا أو بيتا ، وقد يتبع ذلك بإصدار إشعاعات جاما . ولا تمثل جسيمات ألفا أية مخاطر إشعاعية على البشر نظراً لقصر مداها ، كذلك لا تمثل جسيمات بيتا مخاطر ملموسة ، أما بالنسبة لإشعاعات جاما ذات القدرة الاختракافية العالية فإنها تسهم بشكل ملحوظ في الجرعة الإشعاعية الصادرة عن التربة.

ويعتبر مستوى النشاط الإشعاعي الطبيعي في القشرة الأرضية متقارب جداً في معظم الأماكن ، حيث لا يوجد اختلاف من مكان إلى آخر بصفة عامة . و يقدر معدل الجرعة الإشعاعية المكافئة من هذه المصادر بمقدار ( $0.35 \text{ mSv/y}$ ).

ذلك اتضح من جميع القياسات التي تمت داخل المساكن السكنية وخارجها إن معدلات الجرعة الفعلية داخل السكن تبدو عموماً أعلى منها خارج السكن بحوالي ( 40-45% في المتوسط ) . والسبب في ذلك أن مواد البناء المستخدمة في بناء المنازل تحتوي على تركيزات متفاوتة من المواد المشعة الطبيعية مثل سلسلتي اليورانيوم، والثوريوم ( $^{14}K$ ,  $^{39}K$ ).

## 7- الإشعاع الطبيعي داخل جسم الإنسان :

يحتوي جسم الكائن الحي على كميات ضئيلة من النظائر المشعة كالكربون ( $C^{14}$ ) والبوتاسيوم ( $K^{40}$ ). فالبوتاسيوم ( $K^{40}$ ) موجود في الطبيعة مع البوتاسيوم ( $K^{39}$ ) المستقر بنسبة

(11.7: 1000000) و حيث أن جسم الإنسان البالغ (70kg) يحتوي حوالي (40 g) من البوتاسيوم ( $^{39}\text{K}$ ) فإن ذلك الوزن يحتوي على (0.016 g) من البوتاسيوم ( $^{40}\text{K}$ ) المشع ، وتتصدر هذه الكمية من البوتاسيوم المشع حوالي (4200) تكثفاً في الثانية الواحدة منها (89%) على شكل جسيمات بيتا بطاقة مقدارها (1.460 Mev) حيث تمتلك هذه الطاقة بالكامل داخل الجسم البشري كما تمتلك أيضاً (50%) من طاقة إشعاعات جاما. و تؤدي هذه الإشعاعات إلى جرعة مكافئة سنوية مقدارها (20 mRem). والجدول (2-2) يبين أهم المواد المشعة الموجودة داخل جسم الإنسان و مقدار الجرعة المكافئة السنوية الناتجة عن كل منها<sup>(3)</sup>.

#### 8-2 تفاعل الإشعاع المؤين مع الخلية الحية :

عند سقوط الإشعاعات المؤينة على الخلية فإنها تؤدي إلى تأين بعض مكوناتها و خصوصاً جزيئات الماء ( $\text{H}_2\text{O}$ ) الذي يمثل الجزء الأكبر في أي خلية حية . و ي يؤدي تأين جزيئات الماء إلى حدوث تغيرات كيميائية تؤدي بدورها إلى إحداث تغيرات في تركيب وظيفة الخلية و يمكن أن تظهر نتائج هذه التغيرات في الإنسان في شكل أعراض إكلينيكية كالمرض الإشعاعي (radiation sickness) أو إعتام عدسة العين (cataract) أو الإصابة بالسرطان على المدى الطويل . و تؤدي الإشعاعات المؤينة إلى إتلاف (damage) الخلية من خلال عدة مراحل مختلفة معقدة نوجزها فيما يلي :

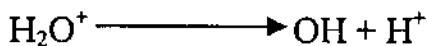
##### 1) المرحلة الفيزيائية Physical stage

حيث تتم هذه المرحلة خلال فترة زمنية قصيرة حوالي ( $10^{-16}\text{ sec}$ ) و فيها تنتقل الطاقة من النوع المعين من الإشعاعات إلى جزيئات الماء بالخلية و يحدث التأين طبقاً للتفاعل التالي :

$$\text{H}_2\text{O} + \text{Energy} \longrightarrow \text{H}_2\text{O}^+ + \text{e}^-$$

##### 2) المرحلة الفيزيوكيماوية Physico – chemical stage

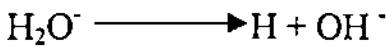
و تتم هذه المرحلة خلال زمن قصير حوالي ( $10^{-16}\text{ sec}$ ) بعد حدوث التأين و يحدث خلالها تقليل الأيونات الموجبة و السالبة مع جزيئات الماء الأخرى فينتج عن هذا التفاعل عدة مركبات جديدة. و بذلك يتحلل أيون الماء الموجب مكوناً أيون هيدروجين موجباً ( $\text{H}^+$ ) و هيدروكسيد ( $\text{OH}^-$ ) طبقاً للمعادلة التالية:



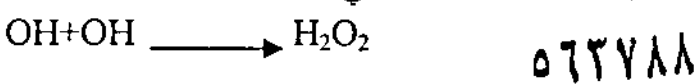
أما الإلكترون السالب فيمكن أن يتحدد مع جزء ماء متوازن مكوناً بذلك أيون ماء سالب:



ثم يتحلل أيون الماء السالب مكوناً الهيدروجين وأيون الهيدروكسيد السالب حسب المعادلة التالية:



و تؤدي هذه التفاعلات إلى تكوين كل من  $OH$ ,  $H$ ,  $OH^-$ ,  $H^+$  و أيونات الهيدروجين ( $H^+$ ) و الهيدروكسيد ( $OH^-$ ) موجودة دائماً في الماء و لا تشارك في إحداث تفاعلات متتالية، و أما بالنسبة للنواتج الأخرى و هي الهيدروجين ( $H$ ) و الهيدروكسيد ( $OH^-$ ) فهي معروفة بنشاطها الكيميائي الشديد . و يمكن أن يكون ناتج آخر هو فوق أكسيد الهيدروجين الذي يعتبر عاملًا مؤكسداً قوياً و ذلك طبقاً للتفاعل التالي<sup>(14)</sup>:



٥٦٣٧٨٨

### 3) المرحلة الكيميائية Chemical Stage

و تستغرق هذه المرحلة عدة ثوان و يتم خلالها تفاعل نواتج المرحلة السابقة مع الجزيئات العضوية المختلفة في الخلية . فيمكن أن تتفاعل هذه النواتج مع الجزيئات المعقدة التي تتكون منها الكرموسومات فتتحدد معها أو تؤدي إلى تكسير تراكيبيها السلسلية الطويلة و إحداث بعض التغيرات في الجينات.

### 4) المرحلة البيولوجية Biological Stage

و يتراوح زمن هذه المرحلة بين عدة دقائق و عدة عشرات السنوات . و تبدأ في هذه المرحلة ظهور آثار التغيرات الكيميائية التي حدثت في الخلية و بعض هذه الآثار هي:-

- موت الخلية .

- منع أو تأخير انقسام الخلية أو زيادة معدل انقسامها.
- حدوث تغيرات مستدامة في الخلية تنتقل وراثياً إلى الخلايا الوليدة<sup>(15)</sup>.

## 9-2 تأثير الإشعاع في الكائن الحي

إن التغيرات التركيبية و الوظيفية التي يحدثها الإشعاع المؤين في الأنسجة و الأعضاء تترك في الكائن الحي آثاراً تتوقف في شدتها و وطأتها على هذا الكائن الحي و على عوامل فيزيائية و كيميائية و حيوية . و تشمل العوامل الفيزيائية نوع الإشعاع و كمية جرعته و شمولية التعرض و معدل توزيع الجرعة الممتصنة . أما العوامل الكيميائية فيمكن تقسيمها إلى مجموعتين

هـا مجموعـة المحسـات (sensitizers) كالـأكسـجين و الـهـالوجـينـات ، ومجموعـة الـواقـيات (protective) والـتي تضـم السـستـينـين (cysteine) و السـتـامـينـ (cysteamine) و الـجلـوتـاثـيونـ (glutathione) و غـيرـها.

وأما العوامل الحيوية فمنها مرحلة دورة الخلية عند التعرض الإشعاعي ونوع النسج بالإضافة إلى عوامل حيوية أخرى تشمل الجنس والعمر والحرارة وتوازن الهرمونات، وتقسم التأثيرات الحيوية التي يتركها الإشعاع المؤين في الكائن الحي إلى ما يلي :-

## ١ - التأثيرات الجسدية :

و تظهر أعراضها على جميع أجزاء الجسم عند تعرضه للإشعاع . و التأثيرات الجسدية أما إن تظهر مبكراً و تكون النتيجة الحتمية الموت وذلك عند تعرض الجسم بأكمله لجرعات إشعاعية عالية خلال فترة زمنية قصيرة نسبياً لموت عدد كبير من الخلايا . أو تظهر هذه التأثيرات متأخرة مسببة الموت و ذلك عند تعرض أجزاء من الجسم و ليس الجسم كله لجرعات إشعاعية عالية ومن أهم هذه التأثيرات نقص كريات الدم البيضاء ، إحمرار الجلد و سقوط الشعر . و لكن عند التعرض المتكرر لجرعات إشعاعية قليلة أو متوسطة لفترات زمنية طويلة و متعددة فإن التأثيرات تظهر في وقت متأخر من حياة الكائن الحي و تدعى هذه التأثيرات بالتأثيرات الجسدية المتأخرة للإشعاع ومن أهمها عتمة عدسة العين ، الشيخوخة ، والوفاة المبكرة ، والسرطانات المختلفة الناتجة عن زيادة معدل نمو و انقسام خلايا العضو المصابة.

## 2 - التأثيرات الوراثية :

تظهر هذه التأثيرات في ذرية الشخص المعرض للإشعاع وتنتج هذه التأثيرات الوراثية عن إتلاف خلايا الأعضاء التناسلية للشخص المعرض للإشعاع المؤينة مما يؤدي هذا التلف إلى مجموعة تغيرات في المادة الوراثية للخلية.

١٠-٢ مصادر الأخطار الخارجية والوقاية منها :

تنتج الأخطار الخارجية عن بعض أنواع الإشعاعات، كجسيمات بيتا والأشعة السينية وأشعة جاما ونيوترونات إذ تتميز بقدرة عالية على الاختراق ويمكنها الوصول إلى أي عضو من الأعضاء، أما جسيمات ألفا فقدرة هذه الجسيمات على اختراق الهواء وطبقات الخارجية للجلد ضعيفة جداً.

لذا تعتبر جميع المصادر التي تصدر الإشعاعات والتي تمتلك قدرة على الاختراق بمثابة مصادر للأخطار الخارجية .

- و يخضع التحكم في الأخطار الإشعاعية الخارجية على ثلاث عوامل هي <sup>(3)</sup>:-
- قضاء أقل فترة زمنية ممكنة في الأماكن التي توجد فيها هذه الإشعاعات .
- الابتعاد قدر الإمكان عن المصادر المشعة إلا في حالة الضرورة القصوى .
- عزل مصادر الإشعاعات باستخدام الحواجز الواقية.

#### **11-2- مسببات الأخطار الداخلية :-**

توقف الأخطار الإشعاعية الداخلية على كمية المادة المشعة التي تدخل الجسم أو العضو المعين وكذلك على نوع الإشعاعات التي تصدرها المادة وطاقتها وعلى الخصائص الفسيولوجية للجسم . و تعتبر المواد التي تصدر جسيمات ألفا من أخطر مصادر الأخطار الداخلية و يرجع السبب في ذلك إلى :-

- قدرة جسيمات ألفا الفائقة على التأمين .
- طول العمر النصفى لجميع المصادر المشعة لجسيمات ألفا .
- صغر مدى جسيمات ألفا في الجسم البشري .
- كبر التأثير البيولوجي النسبي لهذه الجسيمات .
- صعوبة إخراج هذه النظائر من الجسم البشري .

#### **12- طرق دخول المواد المشعة للجسم :**

يتم دخول المواد المشعة إلى الجسم البشري بالطرق التالية :-

- استنشاق الهواء الملوث بالمواد المشعة .
- بلع المواد المشعة أو دخولها مع الطعام بسبب تلوث اليدين .
- الدخول عن طريق الجلد أو الجروح .
- التشعيق المباشر للجلد.

## 13-2 المواد المشعة الداخلية في الجسم:

إذا دخل مصدر الإشعاع إلى الجسم بطريقة الخطأ فلا يمكن تقليل الجرعة أو إزالة الخطر و ذلك لاستحالة عزل أو إبعاد المصدر المشع عن الجسم ، وبعد دخوله الجسم فان مصدر الإشعاع إما أن يتوزع داخل الجسم بانتظام أو يتركز داخل عضو معين يسمى العضو الحرج بالنسبة لذلك المصدر و يكون في هذه الحالة مركزاً في العضو الحرج .

ويتناسب معدل الجرعة التي يمتلكها العضو الحرج من المصدر مع النشاط الإشعاعي لذلك المصدر ، وكذلك يتخلص العضو من بعض الإشعاعات ومصادرها خلال العمليات البيولوجية ، وتعرف فترة العمر الحيوية ( $T_B$ ) بالזמן اللازم لكي يتخلص العضو أو الجسم من نصف ذرات العنصر أو المصدر المشع خلال العمليات الحيوية و تعطى فترة نصف العمر الفعلية ( $T_{eff}$ ) حسب العلاقة التالية:

$$T_{eff} = T_B \frac{T_{1/2}}{T_B + T_{1/2}} \quad (15-2)$$

و للوقاية من الأخطار الداخلية للإشعاع ينصح باتباع ما يلى (16,17):-

- التقليل ما أمكن من كمية المواد المشعة المتداولة .

- وضع المواد المشعة في حاويتين مغلقين على الأقل للتقليل من احتمال انتشار المواد المشعة و حدوث التلوث عند انكسار أو تسرب أحدهما .

- اتباع الخطوات الصحيحة في غسل الملابس الواقية ، وغسل و مراقبة التجهيزات في المختبرات للتأكد من عدم تلوتها.

## 14-2 اللجنة الدولية للوقاية الإشعاعية (ICRP)

تأسست اللجنة الدولية للوقاية الإشعاعية (ICRP) منذ (1928م). ومنذ ذلك التاريخ كانت هذه اللجنة هي الهيئة الدولية المسئولة عن وضع الحدود القصوى من الجرعات الإشعاعية التي يسمح بالتعرض لها، وعن اصدار التوصيات الخاصة بهذه الحدود. وتتجدر الإشارة إلى أن معظم القوانين والتشريعات الخاصة بالتعرض للإشعاعات المؤينة والتي تسنها معظم الدول تتبني أساساً عن توصيات هذه اللجنة.

- ويمكن تلخيص مبادئ هذا النظام في التالي :-

- لن يتم إقرار نظام معين للتعرض الإشعاعي ما لم يكن وراءه فائدة .

- يجب أن يكون التعرض أقل ما يمكن و أن تؤخذ الظروف الاقتصادية و الاجتماعية في الحسبان .

- يجب ألا يتجاوز الجرعة الفعالة الحدود التي توصي بها اللجنة في آخر توصياتها<sup>(18,3)</sup>.

**جدول (1-2)**

**أهم خصائص السلسلة الإشعاعية**

النواة الأطول عمرًا في المجموعة و عمرها النصفى	النواة النهائية المستقرة للمجموعة	اسم السلسلة
( $t_{1/2} = 1.39 \times 10^{10}$ y) 232 الثوريوم -	$^{208}\text{Pb}$ الرصاص -	الثوريوم
( $t_{1/2} = 4.468 \times 10^9$ y) 238 اليورانيوم -	$^{206}\text{Pb}$ الرصاص -	اليورانيوم - راديوم
( $t_{1/2} = 8.12 \times 10^8$ y) 235 اليورانيوم -	$^{207}\text{Pb}$ الرصاص -	الاكتنينيوم
( $t_{1/2} = 2.2 \times 10^6$ y) 237 النبتوبيوم -	$^{209}\text{Pb}$ بسموت -	النبتوبيوم

**جدول (2-2)**

**المواد المشعة الموجودة طبيعياً داخل الجسم البشري و الجرعات الناتجة عنها**

اسم النظير	عدد التفکكات في الجسم البالغ (في الثانية)	الجرعة المكافئة السنوية ميلاري رم	الجرعة المكافئة السنوية ميلاري رم
بوتاسيوم 40	4200	20	
كربون 14	3210	1	
راديوم 226	5 - 4	5 - 0.5	
بولونيوم 210	8	1.4 - 0.1	
سترونشيوم 90	300 - 25	17 - 0.4	
المجموع		4.5 - 0.4 (في النخاع)	
		49 - 23.5	

**15-2: الكمية المميزة في دراسة الإشعاعات:**

**1- التعرض:**

هو عبارة عن كمية الإشعاعات المؤينة التي يتعرض لها جسم الكائن الحي وتقاس بوحدة الروينتجن (Roentgen).

## 2- الجرعة الممتصصة:

هي عبارة عن كمية الطاقة التي امتصها الجسم من الإشعاعات التي تعرّض لها وتقاس بوحدة الراد (Rad).

## 3- التأثير البيولوجي النسبي (RBE):

هو عبارة عن نسبة الجرعة الممتصصة من إشعاعات جاما عند طاقة معينة إلى الجرعة الممتصصة من أي نوع آخر من الإشعاعات بحيث يكون التأثير البيولوجي عندها واحد. ويختلف التأثير البيولوجي النسبي للإشعاعات باختلاف طاقتها وباختلاف نوع ودرجة التلف البيولوجي الناتج عنها وكذلك باختلاف نوع النسيج والعضو.

## 4- معامل النوعية (Q):

هو عبارة عن متوسط الأثر البيولوجي النسبي لجسم الإنسان ككل. ويستخدم هذا المعلم لأغراض الوقاية الإشعاعية لجسم الإنسان ككل.

## 5- الجرعة المكافئة للإنسان (Roentgen quivalent man):

عبارة عن حاصل ضرب الجرعة الممتصصة في معامل النوعية.

$$\text{Roentgen quivalent (rem)} = \text{Dose (in rads)} \times Q$$

## 6- العامل الوزني للإشعاع (Radiation weight factor):

أوصت اللجنة الدولية للوقاية من الإشعاع باستخدام مصطلح العامل الوزني للإشعاعات بدلاً من معامل النوعية (Q) حيث ارتبط معامل النوعية بأنه متوسط التأثيرات البيولوجية النسبية على الجسم كله عندما تأثر الإشعاعات في نقطة محددة من كل عضو أو نسيج، أما العامل الوزني للإشعاع فقد أخذ في الحسبان الجرعة الممتصصة في كامل العضو أو النسيج.

## 7- الجرعة المكافئة للعضو أو النسيج (Equivalent Dose ( $H_T$ )):

مع استخدام العامل الوزني للإشعاع أوصت اللجنة الدولية للوقاية الإشعاعية استخدام الجرعة المكافئة للعضو أو النسيج بدلاً من مكافئ الجرعة للإنسان. وتحدد الجرعة المكافئة لعضو أو نسيج من انسجة الجسم البشري من خلال العلاقة التالية:

$$H_T = \sum W_R D_{TR} \quad (16-2)$$

حيث  $D_{TR}$  : الجرعة الممتصصة من النوع المعين من الإشعاعات في النسيج أو العضو المعين. حيث يتم جمع الجرعات المكافئة في النسيج المعين من الإشعاعات المختلفة للحصول على الجرعة المكافئة الكلية في النسيج.

#### 8- العامل الوزني للنسيج أو العضو ( $W_T$ ) :

يعتمد احتمال الإصابة بالتأثيرات العشوائية للأشعة (كالسرطان أو التأثيرات الوراثية) على نوع العضو أو النسيج المعرض للأشعة، ولحساب احتمال إصابة الجسم البشري بهذه التأثيرات فإنه يجب تحديد مدى إسهام كل عضو من أعضاء وانسجة الجسم في هذا الاحتمال. ولعمل ذلك فإنه يجب وزن الجرعات المكافئة للأنسجة والأعضاء البشرية بمعامل خاص يطلق عليه اسم العامل الوزني للنسيج أو العضو، فعند تشعيع الجسم البشري بشكل متجانس من الأشعاع يكون العامل الوزني للنسيج أو العضو هو نسبة إسهام هذا العضو في احتمال الإصابة في التأثير العشوائي للإشعاع.

#### 9- الجرعة الفعالة ( $H_E$ ) :

هي مجموع حاصل ضرب الجرعة المكافئة لكل نسيج أو عضو في قيمة العامل الوزني لهذا النسيج أو العضو طبقاً للعلاقة التالية:

$$H_E = \sum W_T H_T \quad (17-2)$$

حيث  $W_T$  : العامل الوزني للنسيج.

$H_T$  : الجرعة المكافئة في النسيج.

#### 10- الجرعة الفعالة الجماعية ( $E_C$ ) :

هي عبارة عن مجموع الجرعات الفعالة التي تودع في مجموعة بشرية محدودة. وعند تساوي متوسط الجرعة الفعالة التي تودع في جميع أفراد المجموعة تكون الجرعة الفعالة الجماعية هي عبارة عن حاصل ضرب متوسط الجرعة الفعالة لفرد ( $E$ ) في عدد الأفراد المعرضين، وتقاس الجرعة الفعالة الجماعية بوحدة (Man Sievert).

#### 11- معدل الجرعة (Dose Rate) :

هو عبارة عن قيمة الجرعة التي يحصل عليها العضو أو الإنسان في وحدة الزمن عند وجوده في مكان ما. وتقاس بوحدة الجراري والسيفرت أو (الراد والرم).

#### 12- الحد الأقصى المسموح للجرعة (MPD) :

هو عبارة عن قيمة الجرعة الأشعاعية الفعالة سواء المترافقه خلال فترات زمنية طويلة أو الناتجة عن تعرض واحد لفترة قصيرة. والتي يكون احتمال الإصابة بأضرار عشوائية نتيجة لها احتمالاً ضعيفاً وذلك في ضوء المعلومات المتوفرة في حينها<sup>(14, 16)</sup>.

## 16- الوحدات المستخدمة لقياس الإشعاعات:

1- كوري (Ci):

هو الشدة الإشعاعية (عدد النفكات في الثانية الواحدة) لغرام واحد من الراديوم وتساوي  $3.7 \times 10^{10}$  نفك في الثانية.

2- البيكريل (Bq):

هو عبارة عن نفك نووي واحد في الثانية.

1- Bq تفك في الثانية.

3- الروينجن (R):

وحدة التعرض لأشعة جاما والأشعة السينية وهي مبنية على أساس التأين الذي تحدثه هذه الأشعة في الهواء. ويحدث التعرض لوحدة الروينجن شحنة في الهواء مقدارها (0.0002584 e.s.u) في كل كيلوغرام من الهواء، أو شحنة مقدارها وحدة الكهرباء السلكنة (Coulomb) في كل  $\text{cm}^3$  تحت ظروف معيارية من الضغط ودرجة الحرارة.

$$1R = 2.58 \times 10^{-4} \text{ C/Kg}$$

4- الراد (Rad):

عبارة عن وحدة الجرعة الممتصة من اشعاع مؤين وتمثل هذه الوحدة كمية من الطاقة مقدارها (100 إرج) ممتصة من قبل غرام واحد من أي مادة. أي أن الراد يسبب حوالي  $(2 \times 10^{12})$  تأيناً في الغرام الواحد من المادة.

5- الجrai: Gray

وحدة النظام الدولي (S.I) لقياس الجرعة الممتصة، وهذه الوحدة تمثل كمية من الطاقة مقدارها جول واحد ممتصة في كيلوغرام واحد من المادة، وتساوي (100 راد).

6- رم (Rem):

وهي الوحدة القديمة لقياس الجرعة المكافئة في نسيج حيث تكون الجرعة المكافئة بوحدة هي الرم هي مجموع حاصل ضرب المعامل الوزني للأشعاع في الجرعة الممتصة بوحدة الراد.

7- سيفرت (SV):

هي وحدة قياس الجرعة المكافئة في النظام الدولي (S.I) حيث تكون الجرعة المكافئة بوحدة سيفرت عندما يتم التعبير عن الجرعة الممتصة بوحدة الجrai (Gray).<sup>(3)</sup>

$$\text{ISV} = 100 \text{ rem}$$

الفصل الثالث

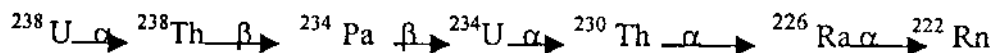
## غاز الرادون وطرق قياس تركيزه

### ١-٣ غاز الريادون و مصادره:

يعتبر غاز الرادون المساهم الأكبر في تعرض الإنسان لمصادر الإشعاع الطبيعي وهو غاز عديم اللون و الطعم و الراحة، ويُنقل الهواء بسبعة أضعاف و نصف و ينتمي إلى مجموعة العناصر الخاملة كيميائياً.

وينحدر غاز الرادون من سلسلة اليورانيوم ( $U^{238}$ ) الموجود في صخور القشرة الأرضية لذلك فإن معدل تدفق الرادون يختلف من منطقة إلى أخرى و ذلك بسبب اختلاف تركيز الرادون من منطقة إلى أخرى نظراً لاختلاف التربة و الصخور الموجودة في القشرة الأرضية التي تعتبر المصدر الرئيسي لليورانيوم.

ونظراً لأن فترة عمر النصف للبيورانيوم طويلة جداً، فإن إنتاج الرادون يبقى مستمراً وبشكل طبيعي، وينتج الرادون من سلسلة البيورانيوم الطبيعي وفقاً للمعادلة النووية الآتية<sup>(19)</sup>:



ويعتمد معدل تدفق غاز الرادون من صخور القشرة الأرضية إلى الهواء الجوي على نوعية التربة و الصخور ومدى سماحتها لمرور غاز الرادون من خلالها . ويتسرب غاز الرادون من الأرض إلى الهواء الجوي لأن تركيزه في هواء التربة يبلغ عشرات أضعاف تركيزه في الهواء الجوي، وبالإضافة إلى ذلك فإن عملية تسرب الرادون تتسم تحت تأثير عوامل كثيرة من أهمها الضغط ، درجة الحرارة ، الرطوبة و الرياح.

ويبلغ معدل تركيز غاز الرادون داخل المبني ثمانية أضعاف تركيزه في الخارج في الأحياء المعتدلة من العالم، ويعتمد تركيز الرادون داخل المبني على نوعية التربة ونوع الجدران وأسلوب التهوية، ففي المبني المفتوحة ذات التهوية المستمرة يكون تركيز غاز الرادون داخل المبني متقارباً لتركيزه في الهواء الطلق. أما في الأماكن المغلقة التي لا يتجدد هواها باستمرار بغية ترشيد استهلاك الطاقة في عمليات التكيف فيمكن أن يصل فيها الرادون إلى مستويات خطيرة.

كذلك تعتبر بعض مصادر المياه الجوفية مصدراً للراديون حيث يكون الراديون ذائب في الماء و يتضاعف عند استخدام الماء، كما تتميز بعض مصادر الغاز الطبيعي المستخدم في المنازل بوجود تركيزات من غاز الراديون تتضاعف إلى الجو عند احتراق ذلك الغاز<sup>(3)</sup>.

### 2-3 نظائر غاز الراديون

يوجد لغاز الراديون ثلاثة نظائر مشعة هي الراديون ( $^{222}\text{Rn}$ ) و ينبع عن سلسلة اليورانيوم ( $\text{U}^{238}$ ) بعد تفكك سلسلة الراديوم ( $^{220}\text{Ra}$ )، والأكتينيون ( $^{219}\text{Rn}$ ) الذي ينبع عن تفكك سلسلة اليورانيوم ( $\text{U}^{235}$ ) بعد تفكك الراديوم ( $^{223}\text{Ra}$ ) ثم الثورون ( $^{220}\text{Rn}$ ) الذي ينبع عن تفكك سلسلة الثوريوم ( $^{232}\text{Th}$ ) بعد تفكك الراديوم ( $^{224}\text{Ra}$ ) ويوضح الشكل (1-3)، (2-3)، (3-3) السلالس الإشعاعية لكل من اليورانيوم  $\text{U}^{238}$  ، ( $\text{U}^{235}$ ) ، و الثوريوم ( $^{232}\text{Th}$ )<sup>(21, 20)</sup>.

ولا يمثل الأكتينيون ( $^{219}\text{Rn}$ ) مخاطر شريرة محسوسة نظراً لقلة اليورانيوم ( $\text{U}^{235}$ ) في الطبيعة ، و انخفاض فترة عمر النصف له و التي تبلغ (3.92 sec)، ولذلك فإننا نهمل الجرعة الإشعاعية الناتجة من ( $^{219}\text{Rn}$ ). عند حساب الجرعة الإشعاعية الناتجة عن الراديون.

وبالرغم من أن النشاط الإشعاعي لكل من اليورانيوم ( $\text{U}^{238}$ ) والثوريوم ( $^{232}\text{Th}$ ) ثريباً متساو إلا أنها نهمل مساهمة الثورون ( $^{220}\text{Rn}$ ) الناتج من سلسلة كلث الثوريوم نظراً لأن فترة عمر النصف للثورون صغيرة جداً و تبلغ (55 sec) حيث أنه سيتحلل معظمها في التربة قبل أن يتدفق إلى الهواء الجوي، أما نظير الراديون ( $^{222}\text{Rn}$ ) فيمثل أكبر المخاطر على الإطلاق نظراً لأنه يتميز بعمر نصف طويل نسبياً (3.82 day)<sup>(22, 9, 6)</sup>

### 3-3 مشتقات غاز الرادون و خطرها على الإنسان

إن معظم الجرعة الإشعاعية للرادون ( $^{222}\text{Rn}$ ) مصدرها مشتقات الرادون وليس غاز الرادون نفسه و يعود السبب في ذلك أن مشتقات الرادون مشعة أيضاً ولكنها لا تشبه غاز الرادون حيث أنها ذرات صلبة لعناصر ثقيلة تلتصق نفسها بكل ما تلامسها ، مما جعل الخطر الرئيسي ينبع من استنشاق مشتقات الرادون أو ذرات الغبار المحمولة لمشتقات الرادون المشع لجسيمات ألفا ( $\alpha$ ). و يعتبر كل :  $\text{Po}^{218}$  و  $\text{Po}^{214}$  من أهم مشتقات الرادون المشع ، علماً بأن طاقة جسيم ألفا ( $\alpha$ ) المتبعة من  $\text{Po}^{14}$  تساوى (7.69 MeV) في حين طاقة جسيم ألفا المتبعة من  $\text{Po}^{218}$  تبلغ (6MeV).

و تكمن خطورة مشتقات الرادون في أنها تتحلل بسرعة قبل أن تستطيع الرئة التخلص من هذه المشتقات و يعود السبب في ذلك إلى فترة عمر النصف لمشتقات الرادون صغيرة جداً فهي تبلغ ( $3.05\text{ min}$ ) و ( $1.6 \times 10^{-4}\text{ sec}$ )<sup>(23)</sup> لكل من  $\text{Po}^{218}$  و  $\text{Po}^{214}$  على التوالي.

و تتمثل خطورة مشتقات الرادون المشع عند تحللها وقدفها لخلايا الرئة بجسيمات ألفا ( $\alpha$ ) التي تمتلك طاقة عالية مما يؤدي إلى تأين خلايا الرئة و إحداث تغير في الخلايا التي تتعرض لها و هذا يؤدي إلى حدوث القسام و نمو غير طبيعي من الخلايا السرطانية في الرئة، هذا وقد ثبت أن الجرعة الإشعاعية التي يتعرض لها الإنسان من مشتقات الرادون المشع أكبر بكثير من تلك التي تصله من الرادون نفسه<sup>(24,25,26)</sup>.

### 4-3 طرق تقليل تركيز الرادون

هناك عدة طرق مستخدمة للتقليل من تركيز الرادون في الأماكن ذات النسبة العالية للتركيز من هذا الغاز المشع ، أحدهما بازالة مصدر الرادون إن أمكن مثل مخلفات مناجم البورانيوم من المناطق القريبة من أساسات المبني ، أو بغلق القنوات التي يدخل منها الرادون إلى المبني كالشقوق و منتجات مواسير المياه و المجاري ، ويمكن ذلك أيضاً بتهوية التربة أسفل المبني وخاصة المبني التي يوجد تحتها فراغ وذلك مساواة بين الأرضية و الطابق الأرضي، أو بتهوية المبني عن طريق النوافذ .

أما الطريقة الأخرى المستخدمة فهي معالجة هواء المبني بتقنيته من السرادون عن طريق استخدام المرابح العمودية التي تزيد من حركة الهواء عن طريق الحمل.

و لتجنب حدوث تراكيز عالية للرادون في المبني التي ستبنى في المستقبل فينصح بتجنب استخدام مواد البناء التي تطلق كميات كبيرة من هذا الغاز المشع ، و تجنب بناء المبني في الأراضي ذات الإشعاعية العالية للرادون ، لأن نسبة ما يتسرّب منه إلى داخل المبني . ستكون مرتفعة و هذا يؤدي وبالتالي إلى رفع تركيزه<sup>(27,3)</sup>.

### 5-3 طرق قياس غاز الرادون:

#### 1-5-3 تمهيد:

يقوم مبدأ الكشف عن الإشعاعات على استخدام ظاهرة التأين أو الإنارة للذرات أو الجزيئات لمادة الكاشف عند سقوط الإشعاعات عليه، فعند سقوط الجسيمات الثقيلة على مادة الكاشف يتكون عدد من الأزواج الألكترونية - الأيونية في المادة حيث يتتساب عدد هذه الأزواج تتناسب طردياً مع طاقة الجسيمات الساقطة، وعند تجمع الألكترونات أو الأيونات الناتجة عن التأين وقياس الشحنة الكهربائية الناتجة عن هذا الأزواج يمكن معرفة عدد هذه الجسيمات الساقطة وطاقتها.

وهناك أنواع أخرى من الكواشف تقوم أساساً على أساس التغيرات الكيمائية التي تحدثها الإشعاعات عند سقوطها على بعض المركبات الكيمائية وبقياس هذه التغيرات الناتجة يمكن الكشف عن كمية الإشعاعات وقياسها.

و عموماً يتوقف نوع الكاشف المستخدم على نوع وكثافة وطاقة الإشعاعات المطلوب الكشف عنها<sup>(3)</sup>. وتتميز مثل هذه الأنواع من الكواشف بحساسية ضعيفة.

#### 3-5-2 المواد والطرق المستخدمة في قياس تركيز غاز الرادون:

تتوفر طرق عديدة مختلفة لقياس تركيز غاز الرادون ومنتجاته تفككه، ومن الضروري أن تجرى مراقبة للمناطق والأماكن التي تحتوي على تركيز عالية لغاز الرادون، حيث ينبغي أيضاً معرفة مدى الإقامة في هذه المناطق بغية التمكن من تقدير التعرض الكلي لغاز الرادون، وتم مراقبة منطقة ما وإجراء قياس لتركيز غاز الرادون فيها إما عن طريقأخذ عينات ألبية أو بواسطة مراقبة طويلة الأمد، وقد تبين أن تقنيات القياس طويلة الأمد تقدم معلومات أكثر واقعية ودقة، وبناء على ذلك تصنف الأجهزة المستخدمة وفق آلية عملها إلى صنفين هما: الأجهزة السلبية (Passive Instruments) والأجهزة الفعالة (Active Instruments) وقد اختيرت في هذه الدراسة الأجهزة السلبية لأنها لا تعتمد على الزمن حيث أنه يمكن استخدامها لفترات زمنية طويلة، بينما الأجهزة الفعالة تعتمد على الزمن وتحتاج إلى طاقة لاستخراج الرادون بينما الأجهزة السلبية تعتمد على الانتشار الطبيعي لغاز الرادون<sup>(28)</sup>.

### 6-3 كواشف الحالة الصلبة:

تقسم كواشف الحالة الصلبة للمسارات النووية (SSNTDS) إلى نوعين: النوع الأول كواشف الحالة الصلبة البلورية مثل الكوارتز، والنوع الثاني كواشف الحالة الصلبة البلاستيكية مثل نيترات السيليلوز (LR-115) وكربونات الأليل دايجيليكول المتعددة المعرفة تجارياً باسم (CR-39) وتستخدم هذه الكواشف (SSNTDS) لأسباب التالية:

- استجابتها العالية لجسمات ألفا.

- عدم استجابتها للإشعاع المؤين (جاما، بيتا).

- يمكن استخدامها لقياس تركيز غاز الرادون في أي فترة زمنية.

- لا تتأثر هذه الكواشف بالظروف البيئية مثل الرطوبة ودرجة الحرارة.

إضافة إلى ذلك تعتبر أيضاً غير حساسة بشكل كاف لقياس على المدى القصير وهذا يعزى إلى مساحة الكاشف الصغيرة<sup>(6)</sup>.

### 7-3 آلية تكوين المسارات:

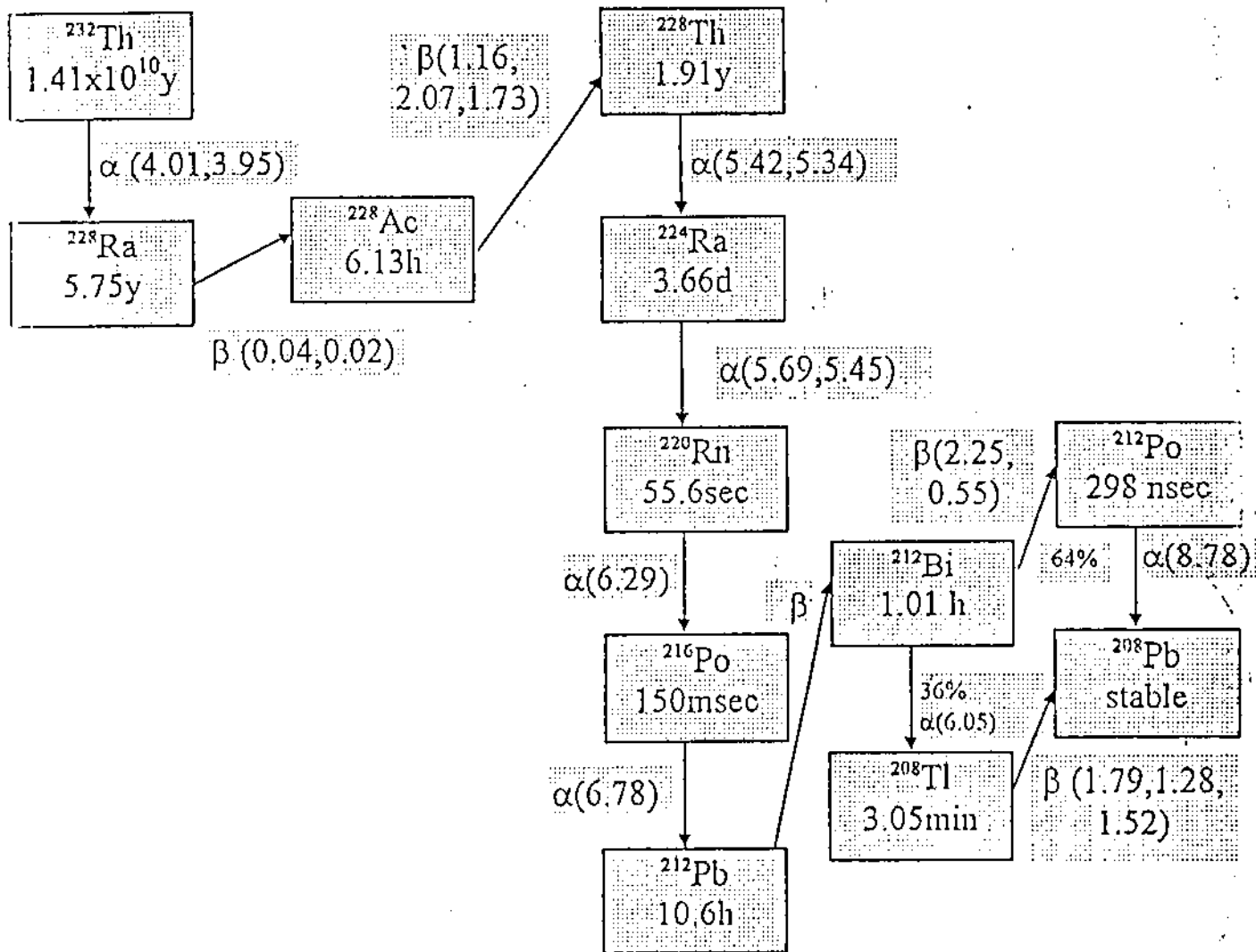
ت تكون كواشف (SSNTDS) من مواد عازلة أو شبه موصلة ضعيفة حيث أن هذه الكواشف تحافظ بالمسار الذي يحدثه الجسيم المشحون عند سقوطه على مادة هذه الكواشف ونظرأ لأن قطر هذه المسارات صغير جداً يتراوح بين (30nm-10nm) فإنها لا ترى إلا تحت المجهر وذلك بعد معالجتها كيميائياً وتسمى عملية المعالجة بعملية الحفر (Etching).

وتمتاز كواشف الحالة الصلبة بأنها ذات سلسل جزئية طويلة مما يجعل استجابتها لتكوين المسارات سهلة فعند سقوط الجسيمات المشحونة على كواشف الحالة الصلبة فإن هذه الجسيمات تفقد جزء من طاقتها بسبب التأين والتهيج الذي يحدثه الجسيم المشحون مع مكونات الكاشف وتتفقد هذه الجسيمات جزء من طاقتها بسبب التفاعل مع مادة الكاشف مما يؤدي إلى تحطم بعض الروابط بين الذرات والجزيئات وينتج عن التدمير لمنطقة الكاشف الذي يمر منه الجسيم المشحون مساراً (Track) ويعتمد التدمير في كاشفات الحالة الصلبة على نوع مادة الكاشف وطبيعة الجسيم المؤين الساقط على مادة الكاشف، فعند سقوط الجسيمات المؤينة (جيسيمات ألفا) على مادة الكواشف البلاستيكية فإنه يتكون داخل المادة البلاستيكية جزيئات متباينة وأخرى مثار، ونتيجة لذلك يتحرر عدد من الألكترونات الناتجة في عملية التأين وتتحدد هذه الألكترونات مع الجزيئات لتكوين أيونات سالبة أو بعض الأيونات الموجبة لتكوين جزيئات مثار، وعند حصول هذه الجزيئات على طاقة اهتزازية فإن الروابط بين الجزيئات قد تتحطم وتتحول إلى جزيئات متغيرة ومجموعة حرقة مما ينتهي سلسل محطمة من الجزيئات وبالتالي انفاس للوزن الجزيئي لمادة الكاشف وظهور المسارات في مادة الكاشف<sup>(30,29)</sup>.

### 3-8 تظهير المسارات:

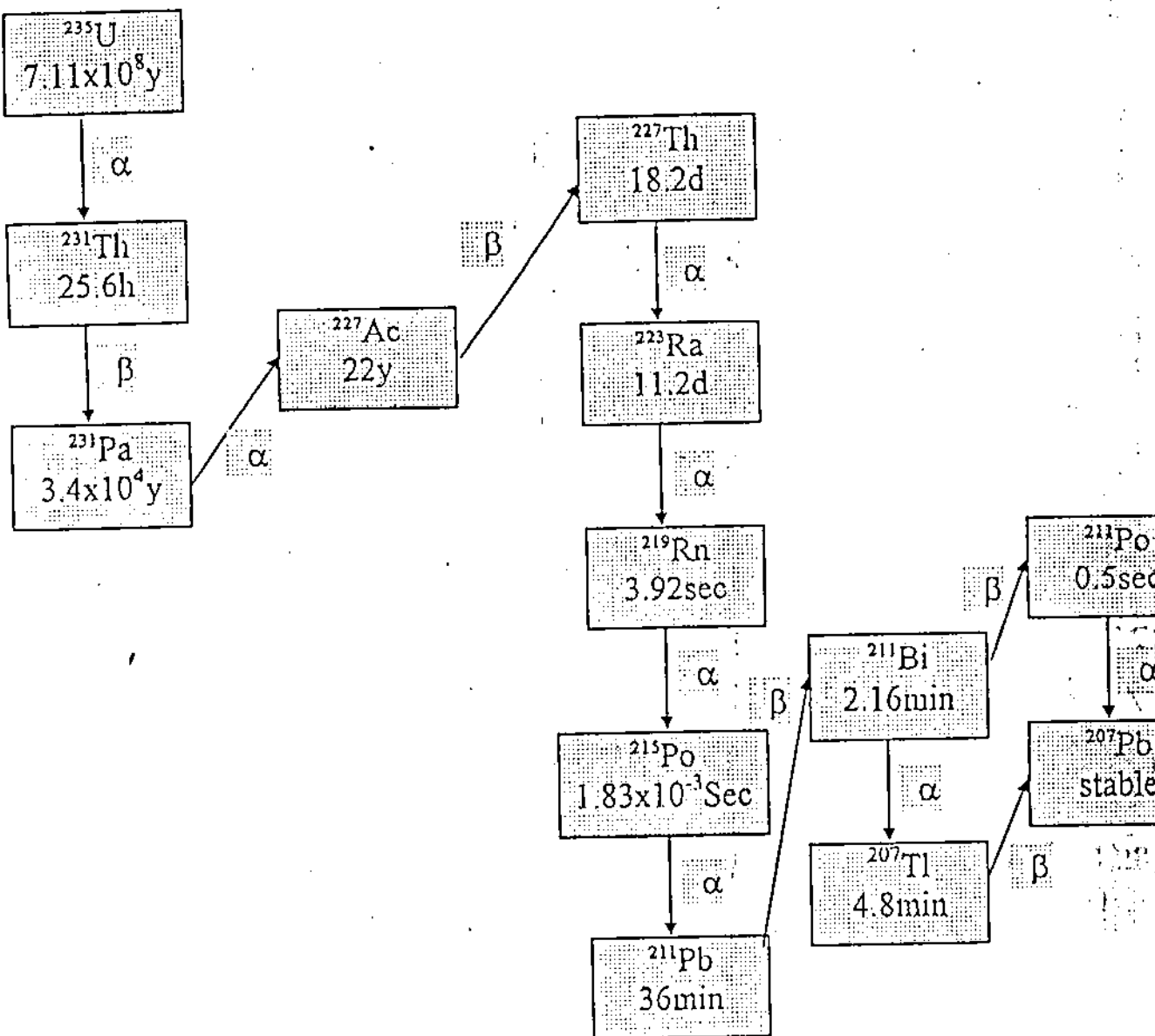
تعتبر كواشف الحالة الصلبة (CR-39) من أكثر الكواشف البلاستيكية شيوعاً وصيغته الجزيئية ( $C_{12}H_{18}O_{17}$ ) فعند سقوط جسيمات ألفا على مادة الكاشف فإنها تستطيع أن تحدث مساراً في مادة هذا الكاشف إذا كانت طاقتها أكبر من (0.1 MeV) وأقل من (20MeV) ونظراً لكون المسارات التي تتركها جسيمات ألفا ذات قطر صغير فإنه لا يمكن رؤية هذه المسارات تحت المجهر إلا بعد تظهيرها بطرق كيميائية، ويتم ذلك عن طريق تثبيت المسار وتكييفه حيث أن بعض المحاليل الكيميائية تعمل على حفر مادة الكاشف ويكون معدل حفر المنطقة المدمرة أكبر من حفر المنطقة غير المدمرة وذلك لأن معدل استجابة مادة الكاشف للمحلول الكيميائي يعتمد على مقدار الأيونات المتكونة في منطقة المسار وعلى خواص الجسم المشحون الساقطة على مادة الكاشف.

ومن الجدير بالذكر أن كل كاشف له ميزاته الخاصة به أثناء الحفر، ومن هذه الميزات نوع محلول الكيميائي الحافر وتركيزه وزمن الحفر ودرجة الحرارة. ويستخدم محلول هيدروكسيد البوتاسيوم (KOH) أو هيدروكسيد الصوديوم (NaOH) لتطهير المكاشف البلاستيكية بتركيز يتراوح (1-12M) وبזמן يختلف من كاشف إلى آخر وعدد درجة حرارة تتراوح  $C^{\circ}$  (40-100)<sup>(30,29)</sup>.



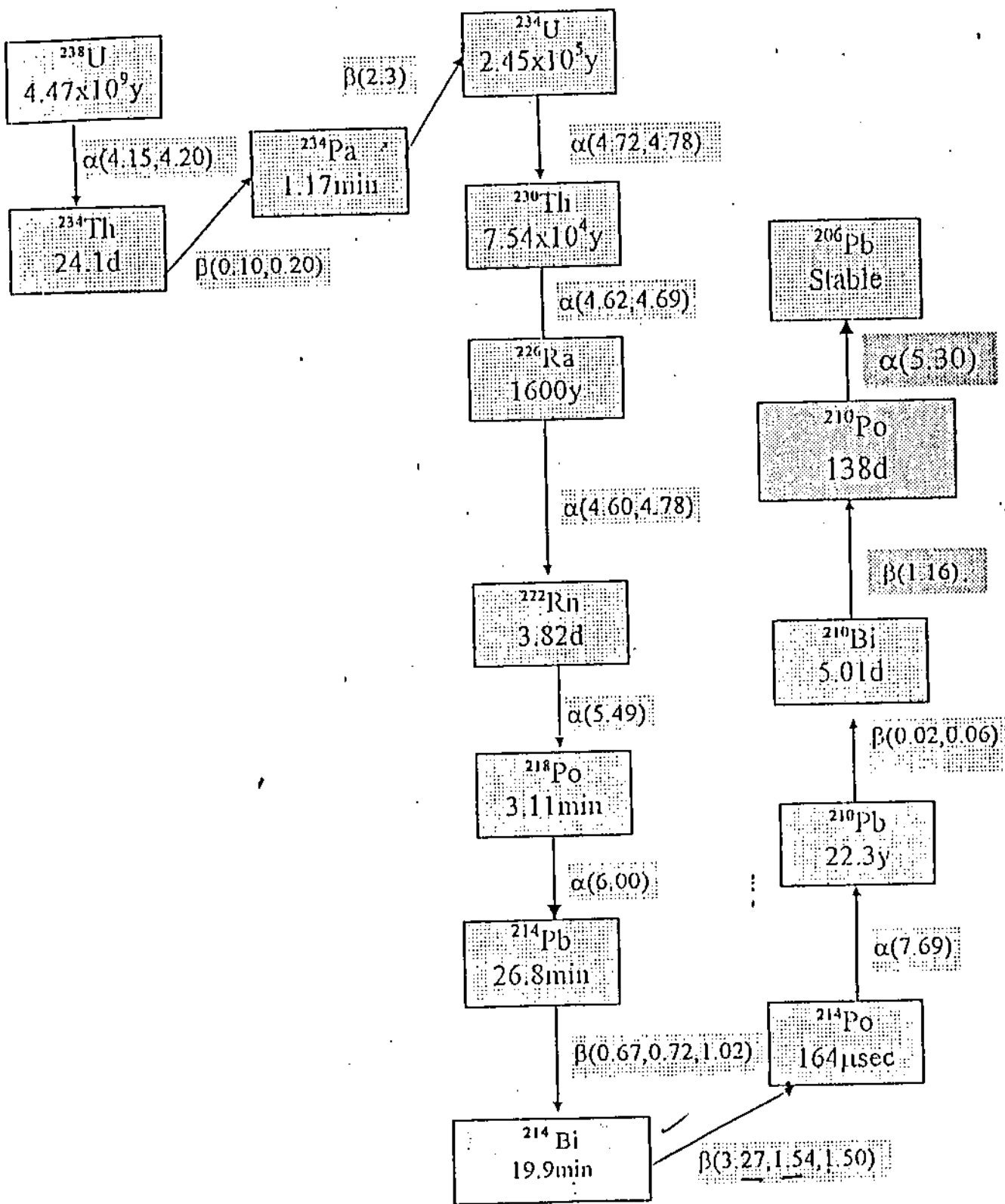
الشكل (1-3)

سلسلة  $^{232}\text{Th}$  الإشعاعية مبيناً عليها نوع التحلل وطاقة الجسيم الناتج عن التحلل بوحدة (MeV)، وكذلك فترة عمر النصف لنواتج التحلل



الشكل (2-3)

يمثل  $^{235}\text{U}$  سلسلة الإشعاعية مبيناً عليها نوع التحلل وطاقة الجسيم الناتج عن التحلل بوحدات (MeV) وكذلك فترة عمر النصف لنتائج التحلل



الشكل (3-3)

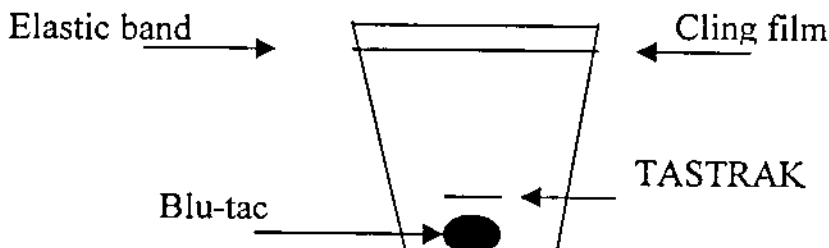
يمثل  $^{238}\text{U}$  سلسلة الإشعاعية مبيناً عليها نوع التحلل وطاقة الجسيم الناتج عن التحلل بواحدات (MeV) وكذلك فترة عمر النصف لنتائج التحلل

## الفصل الرابع

### العمل التجاريبي ونتائج الدراسة

#### ٤-١ مجرى الرادون السلبي

لقد تم تجهيز (120) مجرى من مجاري الرادون السلبية باستخدام مكاشيف بلاستيكية من مادة ((Poly Ally Digicol Carbonate)) المعروفة تجاريا باسم CR-39 وتم الحصول على هذه الكواشف جاهزة من (Track System Analysis Limited TSAL) في انجلترا وكانت أبعاد كل كاشف ( $1.5\text{cm} \times 1.5\text{cm}$ ) وأعطي كل كاشف رقما مميزا له عن الكواشف الأخرى لتسهيل جمع المعلومات الخاصة بالدراسة وبعد ذلك تم تثبيت كل كاشف في منتصف قاع علبة بلاستيكية و ذلك باستخدام لاصق بوجهين بحيث يكون الوجه الذي يحمل الرقم المميز بالكاشف متوجها لأعلى وبعد ذلك تم تنطية العلبة البلاستيكية بقطاء بلاستيكي حتى لا يدخل الغبار والشوائب داخل المجرى و بذلك تكون المجارير جاهزة لل استخدام وقياس تركيز غاز الرادون في هواء مدينة نابلس القديمة والشكل (٤-١) يوضح المقطع العرضي لمجرى الرادون السلبي <sup>(30,9)</sup>.



الشكل (٤-١)  
المقطع العرضي لمجرى الرادون السلبي

#### ٤-٢ مرحلة توزيع المجارير على مناطق الدراسة

بعد الانتهاء من تجهيز المجارير تم توزيعها في مدينة نابلس القديمة حيث تم تقسيم مدينة نابلس القديمة إلى سبع مناطق بحيث تكون الدراسة شاملة والجدول (٤-١) يبيّن التفاصيل المتعلقة بالأماكن وعدد المجارير الموزعة والمجموعة والمفقودة بسبب عث الناس فيها بداع حب الإستطلاع. وقد تركت المجارير في أماكن الدراسة لمدة ثلاثة شهور وهي ت تشرين أول وتشرين ثاني وكانون أول. وكانت توضع المجارير على ارتفاع ( $1.5\text{m}$ ) من أرضية المكان الذي وضعت فيه، حيث أن المجارير في كل حارة وزُرعت على كل من غرف

النوم وغرف الجلوس والمطابخ حتى يمكن اختبار تركيز غاز الرادون وعلاقته بمعدل التهوية في كل من غرف النوم والجلوس والمطابخ.

جدول (4-1)

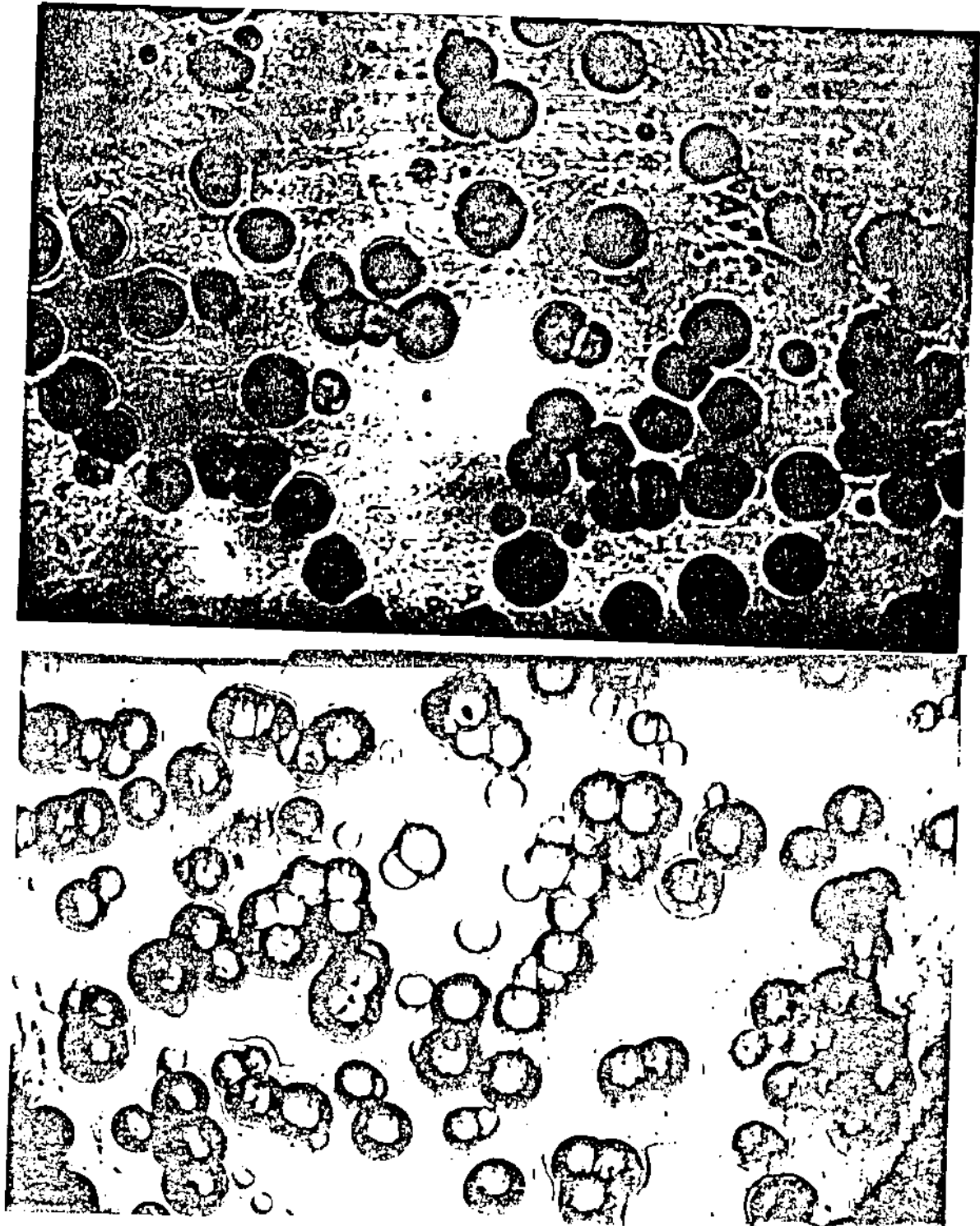
عدد المخاريع الموزعة والمجموأة والمفقودة التي تم توزيعها على أماكن الدراسة

الموقع	الموزعة	المجموع	المخاريع المفقودة	عدد المخاريع
حارة الياسمين	16	12	4	
حارة الشيخ مسلم	34	27	7	
حارة القصارية	17	12	5	
حارة السمرة	15	11	4	
حارة الأربيون	12	8	4	
سوق الحدادين	13	8	5	
حارة النصر	13	11	2	
المجموع	120	89	31	

#### 4-3 تظليل الكواشف وعد المسارات

بعد انتهاء الفترة الزمنية المحددة تم جمع المخاريع من المواقع التي وزعت عليها وبعد ذلك تم نزع المكافيف من هذه المخاريع وتظليلها كيميائيا باستخدام محلول هيدروكسيد الصوديوم ( $\text{NaOH}$ ) وبتركيز (  $6.25\text{N}$  ) وفي درجة حرارة مقدارها (  $98 \pm 2^\circ\text{C}$  ) لمدة ساعة. وبعد الانتهاء من عملية التظليل تم إخراج الكواشف من محلول وغسلها بالماء المقطر للتخلص من بقايا الحفر المختلفة على سطح الكواشف ثم جففت لتصبح جاهزة لمعرفة عدد المسارات في كل وحدة مساحة وذلك باستخدام مجهر ضوئي حيث تمت عملية عدد المسارات بدويا.

ويبين الشكل (4-2) صورة فوتوغرافية للمسارات التي تظهر على الكواشف وهذه المسارات صورت باستخدام مجهر ضوئي عند تكبير مقداره (100) مرة موصولاً مع كاميرا فوتوغرافية.



الشكل (2-4)

صورة فوتوغرافية للمسارات التي تظهر على الكواشف أثناء تعرضها لمشتقات غاز  
الرادون في منازل مدينة نابلس القديمة

#### 4-4- استخراج النتائج

ولاستخراج تركيز غاز الرادون في هواء مدينة نابلس القديمة تم أولا حساب متوسط عدد المسارات لكل مساحة منظورة على كل كاشف على حده وبمعرفة المساحة المنظورة لكل قوة تكبير تم حساب متوسط عدد المسارات لكل وحدة مساحة من الكواشف حيث كانت مساحة المنظر تساوي (0,025434cm<sup>2</sup>) عند قوة التكبير (100) ولإيجاد تركيز غاز الرادون (C) بوحدة Bq/m<sup>3</sup> في كل من أماكن الدراسة نستعمل العلاقة التالية<sup>(9)</sup>:

$$C = C_0 \times \sigma_{\text{track}} / t \quad (1-4)$$

حيث:

$C_0$  : تركيز غاز الرادون في حجرة المعايرة ( $C_0 = 5.3 \text{ Bq}/\text{m}^3$ )  
 $t$  : الفترة الزمنية التي تعرضت لها المكاشف لغاز الرادون في أماكن الدراسة.  
 $\sigma_{\text{track}}$ : كثافة المسارات السطحية (track/cm<sup>2</sup>).

#### 5- عرض النتائج

هدفت الدراسة إلى قياس تركيز غاز الرادون في مدينة نابلس القديمة، لتحقيق ذلك تم قياس تركيز غاز الرادون في المطابخ وغرف النوم وغرف الجلوس في سبعة أماكن في مدينة نابلس القديمة هي: (حارة الياسمين، حارة الشيخ مسلم، حارة القسارية، كنسية السمرة، حارة الآريون، حارة سوق الحدادين، وحارة النصر)، وفيما يلي عرضاً للنتائج التي توصلت إليها أسلحة الدراسة:

- ما هو تركيز غاز الرادون في المطابخ وغرف النوم وغرف الجلوس في الحالات المختلفة في مدينة نابلس القديمة؟
- هل توجد فروق ذات دلالة إحصائية عند مستوى الدلالة ( $\alpha = 0.05$ ) في تركيز غاز الرادون في المطابخ وغرف النوم وغرف الجلوس في الحالات المختلفة في مدينة نابلس القديمة؟
- هل توجد فروق ذات دلالة إحصائية عند مستوى الدلالة ( $\alpha = 0.05$ ) في تركيز غاز الرادون في المطابخ وغرف النوم وغرف الجلوس تعزى لمتغير الحرارة؟

أولاً: النتائج المتعلقة بالسؤال الأول:

ما هو تركيز غاز الرادون في المطابخ وغرف النوم وغرف الجلوس في الحالات في  
مدينة نابلس القديمة؟

للإجابة عن السؤال تم إجراء قياسات لغاز الرادون في المطابخ وغرف النوم وغرف  
الجلوس في السبعة أماكن في مدينة نابلس القديمة. وتم استخراج معدل تركيز غاز الرادون  
والانحراف المعياري، وأيضاً الجرعة المكافئة السنوية وتتبين الجداول من (2-4) إلى (4-8)  
هذه القيم المدروسة وذلك حسب كل حالة مدروسة:

▪ حارة الياسمين:

#### الجدول (2-4)

المعدل والانحراف المعياري لتركيز غاز الرادون  
والجرعة المكافئة السنوية في حارة الياسمين

رقم الكاشف	مكان القياس	تركيز الرادون Bq/m <sup>3</sup>	الجرعة المكافئة السنوية mSv/y
321	غرف نوم	100.1	5.01
243	غرف نوم	88.3	4.42
337	غرف نوم	64.8	3.24
319	غرف نوم	53	2.7
52	غرف نوم	94.2	4.7
253	غرف جلوس	56.4	3.3
248	غرف جلوس	48.9	2.5
323	غرف جلوس	60.1	3.01
332	غرف جلوس	53.6	2.07
256	مطابخ	88.3	4.42
242	مطابخ	106	5.3
62	مطابخ	153.1	7.7
المعدل			4.03
الانحراف المعياري			1.56

يتضح من الجدول (4-2) أن معدل تركيز الرادون في حارة الياسمين وصل إلى (81.31 Bq/m<sup>3</sup>) وكانت أعلى قيمة في المطابخ حيث وصلت إلى (153.1 Bq/m<sup>3</sup>). وكانت أقل قيمة (48.9 Bq/m<sup>3</sup>) وبهذا يكون مدى تركيز غاز الرادون في حارة الياسمين بين (153.1-48.9 Bq/m<sup>3</sup>).

وفيما يتعلق بالانحراف المعياري وصل إلى (30.11 Bq/m<sup>3</sup>) وهو عالٌ مما يبين أنه يوجد هناك تشتت في القياسات وذلك بسبب اختلاف أماكن القياس.

أما فيما يتعلق بالجرعة المكافحة السنوية فقد وصل المعدل إلى (4.03 mSv/y) والانحراف المعياري للجرعة المكافحة السنوية (1.56 mSv/y) وتراوح المدى ما بين (7.7-2.5 mSv/y) حيث كان أعلى جرعة مكافحة في المطابخ (7.7 mSv/y) وأقل جرعة مكافحة كان في غرف الجلوس (2.5 mSv/y).

▪ حارة الشيخ مسلم:

**(3-4) الجدول**

**المعدل والانحراف المعياري لتركيز غاز الرادون  
والجرعة المكافحة السنوية في حارة الشيخ مسلم**

رقم الكائيف	مكان القياس	تركيز الرادون Bq/m <sup>3</sup>	الجرعة المكافحة السنوية mSv/y
306	غرف نوم	88.3	4.42
307	غرف نوم	89.3	4.5
94	غرف نوم	147.2	7.4
82	غرف نوم	54.2	2.7
83	غرف نوم	118.4	5.9
299	غرف نوم	70.7	3.53
267	غرف نوم	111.9	5.6
275	غرف نوم	106	5.3
292	غرف نوم	76.6	3.83
312	غرف جلوس	51.8	2.6
304	غرف جلوس	54.2	2.7
311	غرف جلوس	77.7	3.9
302	غرف جلوس	53	2.6
308	غرف جلوس	117.8	5.9
303	غرف جلوس	88.3	4.4
390	غرف جلوس	64.8	3.2
258	غرف جلوس	100	5.01
278	غرف جلوس	76.6	3.8
301	مطبخ	135.4	6.8
309	مطبخ	88.3	4.4
313	مطبخ	106	5.3
268	مطبخ	164.9	8.3
286	مطبخ	100.1	5.01
287	مطبخ	111.9	5.6
296	مطبخ	121.9	6.1
265	مطبخ	94.2	4.7
295	مطبخ	133.1	6.7
المعدل		96.39	4.75
الانحراف المعياري		29.68	1.45

يتضح من الجدول (4-3) أن معدل تركيز الرادون في حارة الشيخ مسلم وصل إلى (96.39Bq/m<sup>3</sup>) وكانت أعلى قيمة في المطابخ حيث وصلت إلى (164.9Bq/m<sup>3</sup>). وكانت أقل قيمة في غرف الجلوس حيث كانت (51.8Bq/m<sup>3</sup>) وبهذا يتراوح المدى لقياس تركيز غاز الرادون في حارة الشيخ مسلم بين (164.9-51.8Bq/m<sup>3</sup>).  
أما فيما يتعلق بالجرعة المكافئة السنوية فقد وصل المعدل إلى (4.75mSv/y) وتتراوح المدى بين (8.3-2.6mSv/y) حيث كان أعلى جرعة مكافئة في المطابخ وأقل جرعة مكافئة في غرف الجلوس (2.6mSv/y).

#### ▪ حارة القيسارية:

#### الجدول (4-4)

#### المعدل والانحراف المعياري لتركيز غاز الرادون

#### والجرعة المكافئة السنوية في حارة القيسارية

رقم الكاشف	مكان القياس	تركيز الرادون Bq/m <sup>3</sup>	الجرعة المكافئة السنوية mSv/y
245	غرف نوم	102.5	5.1
60	غرف نوم	107.8	5.4
75	غرف نوم	100.1	5.01
76	غرف نوم	94.2	4.7
79	غرف نوم	101.3	5.1
254	غرف جلوس	76.6	3.8
54	غرف جلوس	78.3	3.9
246	غرف جلوس	55.9	2.8
259	غرف جلوس	83.6	4.2
289	مطابخ	111.9	5.6
320	مطابخ	26.5	1.33
262	مطابخ	147.2	7.4
المعدل		90.49	4.52
الانحراف المعياري		30.18	5.28

يتضح من الجدول (4-4) أن معدل تركيز الرادون في حارة القيسارية وصل إلى (90.49Bq/m<sup>3</sup>) وكانت أعلى قيمة في المطابخ حيث وصلت إلى (147.2 Bq/m<sup>3</sup>). وكانت أقل قيمة أيضاً في المطابخ (26.5Bq/m<sup>3</sup>) وبهذا يتراوح المدى بين (26.5Bq/m<sup>3</sup>) - (147.2 Bq/m<sup>3</sup>).

أما فيما يتعلق بالجرعة المكافئة السنوية فقد وصل المعدل إلى (4.52mSv/y) ويتراوح المدى بين (1.33mSv/y - 7.4mSv/y) حيث كان أعلى جرعة مكافئة في المطابخ (1.33mSv/y) وأقل جرعة مكافئة كذلك في المطابخ (4.7mSv/y).

#### ▪ حارة كنيسة السمرة:

**الجدول (5-4)**

#### المعدل والانحراف المعياري لتركيز غاز الرادون

#### والجرعة المكافئة السنوية في حارة كنيسة السمرة

رقم الكاشف	مكان القياس	تركيز الرادون Bq/m <sup>3</sup>	الجرعة المكافئة السنوية mSv/y
327	غرف نوم	76.6	3.8
331	غرف نوم	58.3	2.9
328	غرف نوم	64.8	3.3
324	غرف نوم	106	5.3
333	غرف جلوس	147.3	7.4
329	غرف جلوس	53	2.7
316	غرف جلوس	135.4	6.8
336	غرف جلوس	88.3	4.4
317	مطابخ	82.4	4.1
318	مطابخ	164.9	8.3
339	مطابخ	182.6	9.1
المعدل		105.71	5.28
الانحراف المعياري		54.19	2.26

يتضح من الجدول (4-5) أن معدل تركيز الرادون في حارة كنيسة السمرة وصل إلى (105.71Bq/m<sup>3</sup>) وكانت أعلى قيمة في المطابخ (182.6Bq/m<sup>3</sup>). وأقل قيمة في غرفة الجلوس (53Bq/m<sup>3</sup>) وبهذا تراوح المدى بين (182.6-53Bq/m<sup>3</sup>). أما فيما يتعلق بالجرعة المكافحة السنوية فقد وصل المعدل إلى (5.28mSv/y) وتراوح المدى بين (9.1-2.7mSv/y) حيث كان أعلى جرعة مكافحة في المطابخ (9.1mSv/y) وأقل جرعة مكافحة في غرفة الجلوس (2.7mSv/y).

#### ▪ حارة الأريون:

#### الجدول (6-4)

#### المعدل والانحراف المعياري لتركيز غاز الرادون والجرعة المكافحة السنوية في حارة الأريون

الجرعة المكافحة السنوية mSv/y	تركيز الرادون Bq/m <sup>3</sup>	مكان القياس	رقم الكاشف
4.5	90.7	غرف نوم	66
14.7	253.2	غرف نوم	53
10.3	206	غرف نوم	59
3.54	70.7	غرف نوم	64
4.7	94.2	غرف جلوس	241
5	100.1	غرف جلوس	270
5.3	106	مطابخ	68
8.26	164.9	مطابخ	67
6.78	135.72	المعدل	
3.27	65.16	الانحراف المعياري	

يتضح من الجدول (6-4) أن معدل تركيز الرادون في حارة الأريون وصل إلى (135.72 Bq/m<sup>3</sup>) وكانت أعلى قيمة في غرف النوم حيث وصلت إلى (253.2 Bq/m<sup>3</sup>) وأقل قيمة (70.7 Bq/m<sup>3</sup>) كذلك في غرف النوم، وبهذا تراوح التركيز بين (70.7-253.2 Bq/m<sup>3</sup>).

أما فيما يتعلق بالجرعة المكافئة السنوية فقد وصل المعدل إلى (6.78mSv/y) وتراوح المدى بين (8.26-97.54mSv/y) حيث كان أعلى جرعة مكافئة في المطابخ (3.54mSv/y) وأقل جرعة مكافئة في غرف النوم (8.26mSv/y).

#### ■ حارة سوق الحدادين:

#### الجدول (7-4)

#### المعدل والانحراف المعياري لتركيز غاز الرادون والجرعة المكافئة السنوية في حارة سوق الحدادين

الجرعة المكافئة السنوية mSv/y	تركيز الرادون Bq/m <sup>3</sup>	مكان القياس	رقم الكاشف
5.04	100.7	غرف نوم	91
8.5	170.8	غرف نوم	96
5.1	102.5	غرف نوم	103
10.1	202.6	غرف نوم	105
4.2	83.6	غرف جلوس	100
2.4	47.7	غرف جلوس	101
4.1	81.9	مطابخ	89
2.8	55.9	مطابخ	264
5.28	105.71		المعدل
2.69	54.19		الانحراف المعياري

يتضح من الجدول (7-4) أن معدل تركيز الرادون في حارة سوق الحدادين السمرة وصل إلى (105.71 Bq/m<sup>3</sup>) وتراوح المدى بين (47.7 Bq/m<sup>3</sup> - 202.6 Bq/m<sup>3</sup>) حيث كانت أعلى قيمة في غرفة النوم (202.6 Bq/m<sup>3</sup>) وأقل قيمة (47.7 Bq/m<sup>3</sup>) في غرف الجلوس. وفيما يتعلق بالجرعة المكافئة السنوية فقد وصل المعدل إلى (5.28 mSv/y) وتراوح المدى بين (10.1-2.4mSv/y) حيث كان أعلى جرعة مكافئة في غرف النوم (10.1mSv/y) وأقل جرعة مكافئة في غرف الجلوس (2.4mSv/y).

▪ حارة سوق النصر :

**الجدول (8-4)**

المعدل والانحراف المعياري لتركيز غاز الرادون  
والجرعة المكافئة السنوية في حارة سوق النصر

رقم الكاشف	مكان القياس	تركيز الرادون Bq/m <sup>3</sup>	الجرعة المكافئة السنوية mSv/y
257	غرف نوم	112.5	5.6
93	غرف نوم	108.9	5.4
65	غرف نوم	87.7	4.4
81	غرف نوم	187.9	9.4
63	غرف نوم	64.8	3.2
106	غرف جلوس	70.7	3.5
102	غرف جلوس	94.2	4.7
266	غرف جلوس	88.3	4.4
88	مطابخ	123.7	6.2
109	مطابخ	60.7	3.03
92	مطابخ	94.2	4.7
المعدل			4.95
الانحراف المعياري			2.01

يتضح من الجدول (8-4) أن معدل تركيز الرادون في حارة سوق النصر وصل إلى (99.41Bq/m<sup>3</sup>) وترواح المدى بين (60.7Bq/m<sup>3</sup>-187.9Bq/m<sup>3</sup>) حيث كانت أعلى قيمة في غرفة النوم (187.9Bq/m<sup>3</sup>) وأقل قيمة في المطابخ (60.7Bq/m<sup>3</sup>).

وفيما يتعلق بالجرعة المكافئة السنوية فقد وصل المعدل إلى (4.94mSv/y) وترواح المدى بين (3.03 mSv/y-9.4 mSv/y) حيث كان أعلى جرعة مكافئة في غرف النوم (9.4 mSv/y) وأقل جرعة مكافئة في المطابخ (3.03 mSv/y).

ثانياً: النتائج المتعلقة بالسؤال الثاني:

هل توجد فروق ذات دلالة إحصائية عند مستوى الدلالة ( $\alpha = 0.05$ ) في تركيز غاز الرادون في المطابخ وغرف النوم وغرف الجلوس في الحالات المختلفة في مدينة نابلس القديمة؟

للإجابة عن السؤال استخدم المتوسط الحسابي والانحراف المعياري وتحليل التباين الأحادي (One-Way ANOVA) واختبار تيوكي (Tukey Test) للمقارنات البعدية (Post-hoc) بين المتوسطات الحسابية ونتائج الجدول (9-4) تبين المتوسط الحسابي والانحراف المعياري لتركيز غاز الرادون في المطابخ وغرف النوم وغرف الجلوس في الحالات المختلفة في مدينة نابلس القديمة، بينما يبين الجدول (10-4) نتائج تحليل التباين الأحادي.

حيث أن المتوسط الحسابي يمثل القيمة التي تمثل مجموعة القيم لتركيز غاز الرادون وتجمعها حول نقطة معينة، بينما يمثل الانحراف المعياري تشتت القيم وبعدها عن المتوسط الحسابي، وبالنسبة لتحليل التباين الأحادي فهو اختبار إحصائي يستخدم لمعرفة الفروق في أثر متغير مستقل وهو الحرارة في الدراسة الحالية على متغير تابع وهو تركيز الرادون، وذلك من أجل معرفة التأثير هل له معنى أم لا وبمستوى دلالة ( $\alpha = 0.05$ ) التي تعبر عن نسبة الخطأ المسموح به وبثقة (0.95)، ويرمز له عادة بحرف (F) نسبة إلى العالم (Fisher) الذي أوجده، وفي حالة وجود الفروق ولتحديد بين أي من الحالات بالتحديد كانت الفروق في تركيز غاز الرادون يتم استخدام اختبار بعدي ومن أشهر هذه الاختبارات اختبار (Tukey Test).

الجدول (٤-٦)

المتوسط الحسابي والاحراف المعياري لتركيز غاز الرايدون في المطليخ وغرف النوم وعمر الجلوس في الحالات المختلفة في مدينة تابتس القديمة

العنوان	نوع المعلم	غرف الجلوس				غرف النوم				المطبخ				أسفل القبوس		
		أعلى قيمة Bq/m³	أقل قيمة Bq/m³	المتوسط Bq/m³	الأدراiat Bq/m³	أعلى قيمة Bq/m³	أقل قيمة Bq/m³	المتوسط Bq/m³	الأدراiat Bq/m³	أعلى قيمة Bq/m³	أقل قيمة Bq/m³	المتوسط Bq/m³	الأدراiat Bq/m³			
153	48.90	30.11	81.31	65	48.90	7.72	57	100	53	20.21	80.08	153	88.30	33.39	115.8	الحدائق
164.9	51.80	29.68	96.39	117	51.8	22.89	76.02	147	54020	28.15	95.84	164.9	88.30	24.21	117.3	حارة الياسين
147	26.50	30.18	90.49	83	55.90	12.17	73.60	107	94.20	4.88	101.16	147	26.50	62.05	95.20	حارة الشيش مسلم
182	53	45.18	105.41	147	53	43.55	106	106	58.30	21.12	76.42	182	82.40	53.47	143.30	حارة كربسة المسورة
253	70.70	65.16	135.72	100	94.20	4.17	97.15	253	70.70	88.47	155.15	164	106	41.64	135.45	حارة الأربعون
202	47.70	54.19	105.71	83	47.70	25.38	65.65	202	100.70	50.82	144.15	81	55.90	18.38	68.90	حارة سوق الحدايدن
187	60.70	35.37	99.41	94	70.70	12.22	84.40	187	64.80	46.33	112.36	123	60.70	31.52	92.86	حارة التصر
		38.98	98.80		25.74	79.92			43.50	101.78			36.92	116.008	المعدل العام	

الجدول (10-4)

نتائج تحليل التباين الأحادي لدالة الفروق بين أماكن قياس الرادون (مطابخ، غرف نوم، غرف جلوس) في حارات مدينة نابلس القديمة

الحارات	مصدر التباين	درجات الحرية	مجموع مربعات الانحراف	متوسط الانحراف	ف	مستوى الدلالة*
حارة الياسمين	بين الحارات	2	594.14	2970.07	6.62	0.01
	داخل الحارات	9	4035.46	448.38		
	المجموع	11	9975.61			
حارة الشيخ مسلم	بين الحارات	2	7675.53	3837.76	6.04	0.007
	داخل الحارات	24	15228.22	634.50		
	المجموع	26	22903.75			
حارة القسارية	بين الحارات	2	1779.02	889.51	0.97	0.41
	داخل الحارات	9	8242.42	915.82		
	المجموع	11	10021.44			
حارة كنيسة السمرة	بين الحارات	2	7668.86	3834.43	2.40	0.15
	داخل الحارات	8	12750.56	1595.82		
	المجموع	10	20419.43			
حارة الآريون	بين الحارات	2	4485.53	2242.76	0.44	0.66
	داخل الحارات	5	25237.14	5047.42		
	المجموع	7	29722.67			
حارة سوق الحداين	بين الحارات	2	11830.09	5915.04	3.38	0.11
	داخل الحارات	5	8731.65	1746.33		
	المجموع	7	20561.74			
حارة النصر	بين الحارات	2	1642.85	821.42	0.40	0.67
	داخل الحارات	8	10874.45	1359.30		
	المجموع	10	12517.31			
المجموع الكلي (الحارات مجتمعة)	بين الحارات	2	1635.62	8178.31	6.06	0.004
	داخل الحارات	78	105250.09	1349.36		
	المجموع	80	121606.72			

\* ف الجدولية عند مستوى الدلالة ( $\alpha = 0.05$ ) تساوي (4.26).

يتضح من الجدول (10-4) ما يلي:

- لا توجد فروق ذات دلالة إحصائية عند مستوى الدلالة ( $\alpha = 0.05$ ) في تركيز غاز الرادون في غرف النوم وغرف الجلوس في أماكن (حارة القسارية، حارة كنيسة السمرة، حارة الآريون، حارة سوق الحداين، وحارة النصر).

- وجود فروق ذات دلالة إحصائية عند مستوى الدلالة ( $\alpha = 0.05$ ) في تركيز غاز الرادون في المطابخ وغرف النوم، وغرف الجلوس، في أماكن (حارة الياسمين، حارة الشيخ مسلم) والدرجة الكلية للحارات مجتمعة.

ومن أجل تحديد بين من كانت الفروق استخدم اختبار تيوكي للمقارنات البعدية بين المتوسطات الحسابية (Tukey Post-hoc Test)، ونتائج الجداول (11-4) (12-4) (13) تبين ذلك.

- حارة الياسمين:

#### الجدول (11-4)

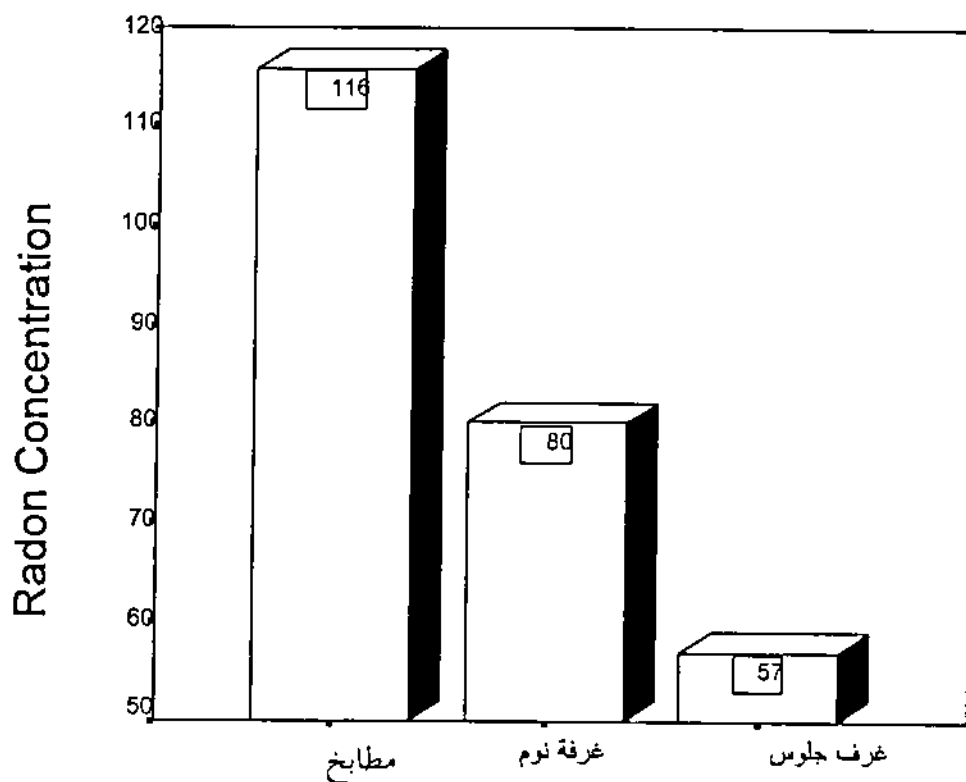
نتائج اختبار تيوكي للمقارنات البعدية بين المتوسطات الحسابية في تركيز غاز الرادون في المطابخ وغرف النوم، غرف الجلوس في حارة الياسمين

مكان القياس	الوسط الحسابي $Bq/m^3$	المطبخ	غرف النوم	غرف الجلوس
غرف الجلوس	58.80	35.72	23.08	
				57

\* دل إحصائياً عند مستوى ( $\alpha = 0.05$ ).

يتضح من الجدول (11-4) أنه لا توجد فروق ذات دلالة إحصائية عند مستوى ( $\alpha = 0.05$ ) في تركيز غاز الرادون في حارة الياسمين بين المطابخ وغرف النوم وكذلك بين غرف النوم وغرف الجلوس، بينما كانت الفروق الدالة إحصائياً عند مستوى ( $\alpha = 0.05$ ) في تركيز الرادون بين المطابخ وغرف الجلوس لصالح المطابخ حيث وصل الوسط الحسابي إلى ( $115.80 Bq/m^3$ ) بينما وصل الوسط الحسابي في غرف الجلوس إلى ( $57 Bq/m^3$ ).

وتحظى مثل هذه الفروق في الشكل البياني رقم (3-4)



الشكل رقم (3-4)

المتوسط الحسابي لغاز الرادون في المطبخ وغرف النوم وغرف الجلوس في حارة  
الياسمين

- حارة الشيخ مسلم:

الجدول (12-4)

نتائج اختبار تيووكى للمقارنات البعدية بين المتوسطات الحسابية في تركيز غاز الرادون في  
المطبخ وغرف النوم، غرف الجلوس في حارة الشيخ مسلم

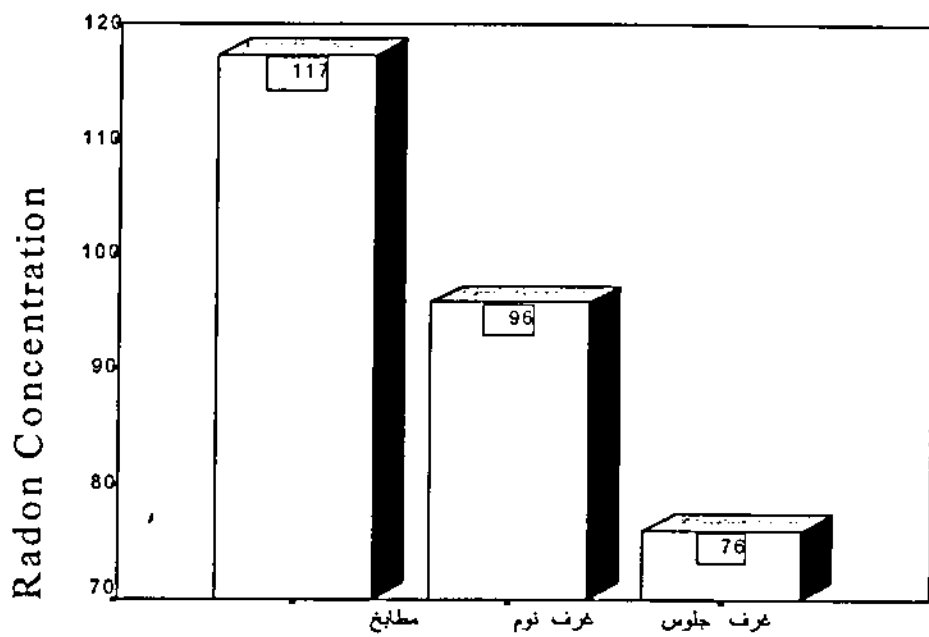
مكان القياس	الوسط الحسابي $Bq/m^3$	المطبخ	غرف النوم	غرف الجلوس
المطبخ	117.31		21.46	*41.28
غرف النوم	95.84			19.82
غرف الجلوس	76.06			

\* دال إحصائياً عند مستوى ( $\alpha = 0.05$ ).

يتضح من الجدول (12-4) أنه لا توجد فروق ذات دلالة إحصائية عند مستوى ( $\alpha = 0.05$ ) في تركيز غاز الرادون في حارة الشيخ مسلم بين المطبخ وغرف النوم وكذلك

بين غرف النوم وغرف الجلوس، بينما كانت الفروق دالة إحصائياً عند مستوى ( $\alpha = 0.05$ ) في تركيز الرادون بين المطبخ وغرف الجلوس لصالح المطبخ حيث وصل الوسط الحسابي إلى ( $117.31 \text{Bq/m}^3$ ) بينما وصل الوسط الحسابي في غرف الجلوس إلى ( $76.06 \text{Bq/m}^3$ ).

وتنظر مثل هذه الفروق في الشكل البياني رقم (4-4)



الشكل رقم (4-4)

المتوسط الحسابي لغاز الرادون في المطبخ وغرف النوم وغرف الجلوس في حارة الشيخ مسلم

- الحالات مجتمعة:

الجدول (13-4)

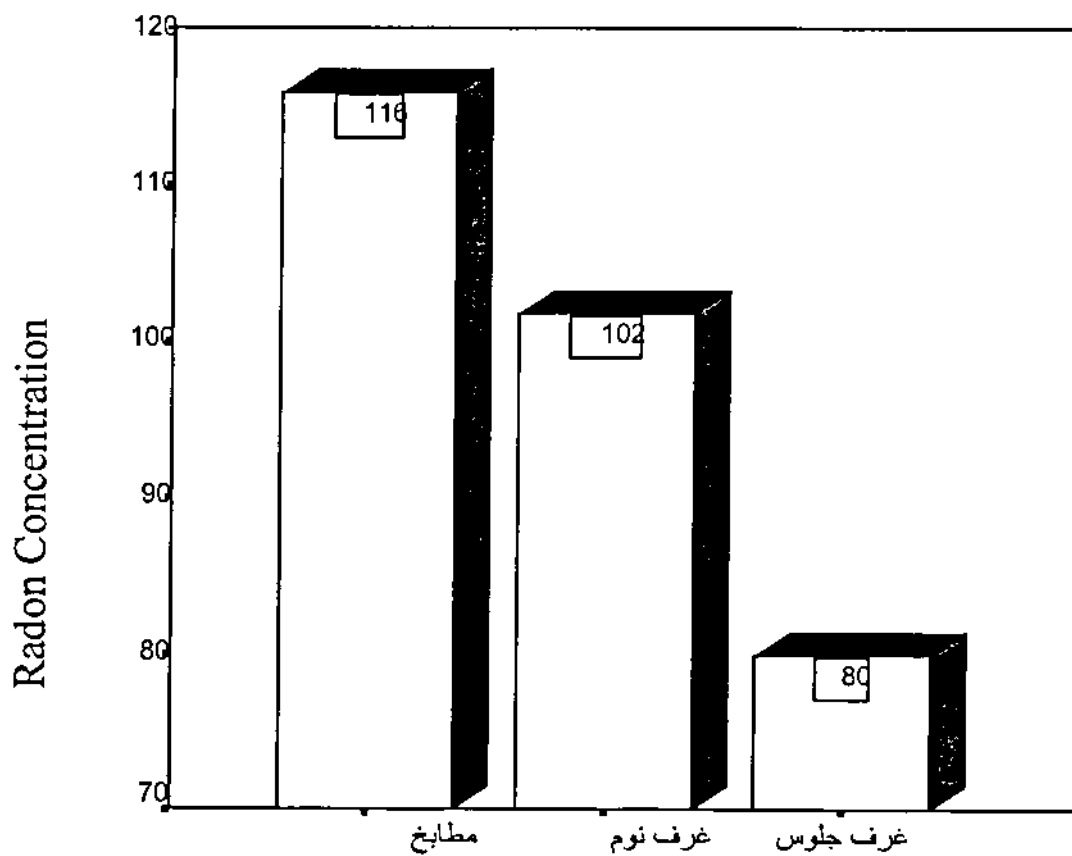
نتائج اختبار تيوكي للمقارنات البعدية بين المتوسطات الحسابية في تركيز غاز الرادون في المطبخ وغرف النوم، غرف الجلوس في جميع الحالات

مكان القياس	الوسط الحسابي	المطبخ	غرف النوم	غرف الجلوس
المطبخ	116.008		14.22	*36.08
غرف النوم	101.78			21.85
غرف الجلوس	79.92			

\* دال إحصائياً عند مستوى ( $\alpha = 0.05$ ).

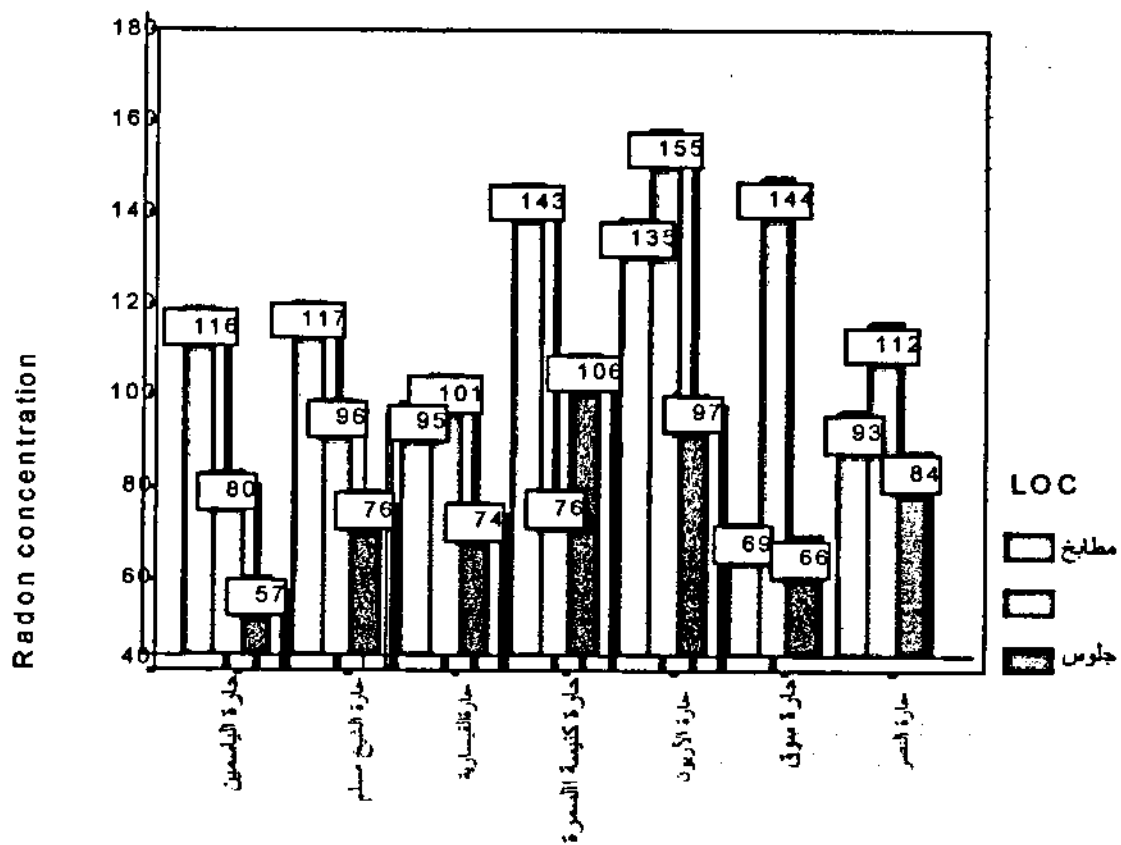
يتضح من الجدول (4-13) أنه لا توجد فروق ذات دلالة إحصائية عند مستوى  $\alpha = 0.05$  في تركيز غاز الرادون في جميع مناطق مدينة نابلس القديمة مجتمعة بين المطابخ وغرف النوم وكذلك بين غرف النوم وغرف الجلوس، بينما كانت الفروق دالة إحصائياً عند مستوى  $\alpha = 0.05$  في تركيز الرادون بين المطابخ وغرف الجلوس لصالح المطابخ حيث وصل الوسط الحسابي في المطابخ إلى  $(116.008 \text{Bq/m}^3)$  بينما وصل الوسط الحسابي إلى  $(79.92 \text{Bq/m}^3)$  في غرف الجلوس كما يشير الجدول (4-9).

ونظير مثل هذه الفروق الشكل البياني رقم (5-4).



الشكل رقم (5-4)  
المتوسط الحسابي لغاز الرادون في المطابخ وغرف النوم وغرف الجلوس في الحالات مجتمعة

ومن أجل معرفة أعلى المتوسطات الحسابية لتركيز غاز الرادون في المطبخ وغرف النوم وغرف الجلوس في كل منطقة من المناطق فقد تم رسمهم وتجميعهم في شكل بياني واحد كما هو مبين في الشكل البياني رقم (4-6).



**الشكل البياني رقم (6-4)**  
المتوسط الحسابي لتركيز غاز الرادون في المطبخ وغرف النوم وغرف الجلوس في  
الحارات المدروسة

**ثالثاً: النتائج المتعلقة بالسؤال الثالث:**  
هل توجد فروق ذات دلالة إحصائية عند مستوى الدلالة ( $\alpha = 0.05$ ) في تركيز  
غاز الرادون في المطبخ وغرف النوم وغرف الجلوس تعزى لمتغير الحرارة؟  
للإجابة عن السؤال تم استخدام المتوسطات الحسابية والانحرافات المعيارية وتحليل التباين  
الأحادي (One-Way ANOVA) ويبين الجدول (4-14) نتائج المتوسط الحسابي لقياس

تركيز غاز الرادون في مختلف مناطق الدراسة، أما الجدول (15-4) فإنه يبين نتائج تحليل التباين الأحادي.

#### الجدول (14-4)

المتوسط الحسابي والانحراف المعياري لتركيز غاز الرادون في المطبخ وغرف النوم  
وغرف الجلوس تبعاً لمتغير الحرارة

الحرارة	الوسط الحسابي Bq/m <sup>3</sup>	الانحراف المعياري Bq/m <sup>3</sup>
حارة الياسمين	81.31	30.11
حارة الشيخ مسلم	96.39	29.68
حارة القسارية	90.49	30.18
حارة كنيسة السمرة	105.41	45.18
حارة الآريون	135.72	65.16
حارة سوق الحدادين	105.71	54.19
حارة النصر	99.41	35.37

#### ٥٧٣٧٨٨

#### الجدول (15-4)

نتائج تحليل التباين الأحادي لدالة الفروق في تركيز غاز الرادون في الحرارات المختلفة في  
مدينة نابلس القديمة

مصدر التباين	درجات الحرية	مجموع مربعات الانحراف	متوازن الانحراف	ف	مستوى الدلالة
بين الحرارات	6	16346.47	2724.41	2.11	*0.05
داخل الحرارات	82	105560.25	1287.32		
المجموع	88	121906.72			

يتضح من الجدول (15-4) أنه توجد فروق ذات دلالة إحصائية عند مستوى الدلالة  $\alpha = 0.05$  في تركيز غاز الرادون بين الحرارات والأماكن المختلفة للحرارات في مدينة نابلس القديمة.

لتحديد بين أي من الحرارات والأماكن كانت الفروق استخدم اختبار تيوكي للمقارنات البعدية بين المتوسطات الحسابية (Tukey past- hoc Test) ونتائج الجدول (4-16) تبين ذلك.

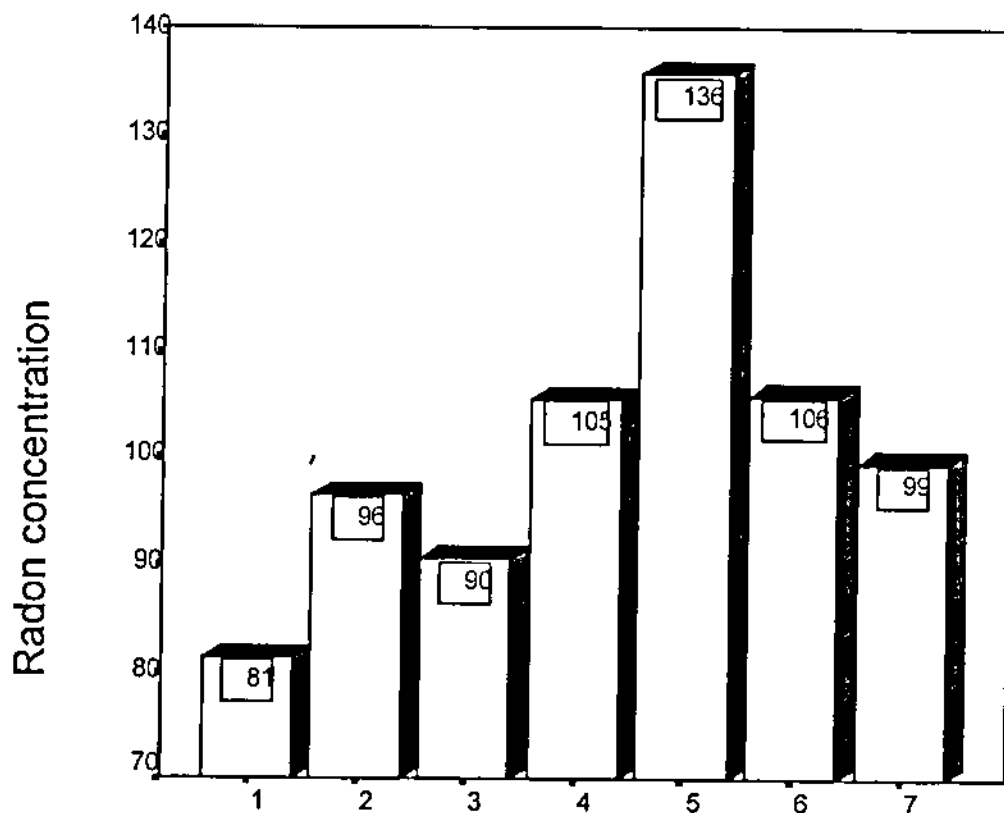
الجدول (16-4)

نتائج اختبار تيوكى للمقارنات البعدية بين المتوسطات الحسابية لتركيز غاز الرادون في  
الحارات والأماكن المختلفة في مدينة نابلس القديمة

الحاره النصر	الحاره سوق الحدادين	الحاره الأريون	الحاره كنيسة السمرة	الحاره القيسارية	الحاره الشيخ مسلم	الحاره الياسمين	الوسط الحسابي Bq/m³	الحاره
18.10-	24.4-	54.40-	24.1-	9.17	15.07-		81.31	الحاره الياسمين
3.02-	9.32-	39.33	9.02	5.90			96.39	الحاره الشيخ مسلم
8.92-	15.22-	45.23-	14.92-				90.49	الحاره القيسارية
6	0.30-	30.30-					105.41	الحاره كنيسة السمرة
36.30	30.01						135.72	الحاره الأريون
6.3							105.71	الحاره سوق الحدادين
							99.41	الحاره النصر

\* دال احصائیاً عند مستوى  $(0.05 - \alpha)$

يتضح من الجدول (4-16) أنه توجد فروق ذات دلالة إحصائية عند مستوى الدلالة  $\alpha = 0.05$  في تركيز غاز الرادون بين حارة الباسمين وحارة الأرييون لصالح حارة الأرييون حيث كان الوسط الحسابي في حارة الباسمين ( $81.3 \text{ Bq/m}^3$ ) بينما كان التركيز في حارة الأرييون ( $135.72 \text{ Bq/m}^3$ ) والفرق بين المتوسطين ( $54.40 \text{ Bq/m}^3$ ) وبين الشكل (4-7) المقارنات الأخرى بين المتوسطات الحسابية لتركيز غاز الرادون في الحالات لمدينة نابلس القديمة.



الشكل (7-4)

تركيز غاز الرادون في حارات مدينة نابلس القديمة.

1. حارة الباسمين.
2. حارة الشيخ مسلم.
3. حارة القسارية.
4. حارة كنيسة السمرة.
5. حارة الأرييون.
6. حارة سوق الحداجين.
7. حارة النصر.

## الفصل الخامس

### مناقشة النتائج

تبين من خلال عرض النتائج أن هناك اختلاف في تركيز غاز الرادون من منطقة إلى أخرى ويعود هذا الاختلاف إلى عدة عوامل رئيسية أهمها: معدل التهوية والتي لها دور كبير في اختلاف تركيز غاز الرادون من منطقة إلى أخرى، كذلك مساحة المنزل، نوعية المواد المستخدمة في البناء مثل نوعية الدهان التي تلعب دوراً كبيراً في اختلاف تركيز غاز الرادون من منطقة إلى أخرى، وكذلك الظروف الجوية التي لها أثر كبير في اختلاف تركيز غاز الرادون من منزل إلى آخر ومن منطقة إلى أخرى<sup>(3)</sup>.

والآن سوف نبدأ بمناقشة النتائج تفصيلية حيث نلاحظ من الجدول (4-2) أن أعلى قيمة لتركيز غاز الرادون في حارة الياسمين كان في المطبخ الذي وضع فيه كاشف رقم (62) وبلغ مقداره ( $153.1 \text{Bq/m}^3$ )، كما كانت أقل قيمة لتركيز غاز الرادون في هذه الحارة في غرفة الجلوس التي وضع فيها كاشف رقم (248) وبلغ مقداره ( $48.9 \text{Bq/m}^3$ )، ويعود السبب في اختلاف تركيز غاز الرادون إلى أن المطبخ كانت بشكل عام مساحتها صغيرة مقارنة مع باقي الغرف مما أدى إلى وجود تهوية سيئة في المطبخ وبالتالي ارتفاع تركيز غاز الرادون فيها.

ونلاحظ من نفس الجدول أن معدل تركيز غاز الرادون في هذه الحارة بلغ مقداره ( $81.31 \text{Bq/m}^3$ ) وينتج عن هذا التركيز جرعة فعالة مكافأة مقدارها (4.03).

ويتضح من الجدول (4-3) أن أعلى قيمة لتركيز الرادون في حارة الشيخ مسلم كانت في المطبخ الذي وضع فيه كاشف رقم (268) وبلغ مقداره ( $164.9 \text{Bq/m}^3$ ) وكانت أقل قيمة في غرفة الجلوس الذي وضع فيها كاشف رقم (312) حيث بلغ مقداره ( $51.8 \text{ Bq/m}^3$ ) ويعود السبب إلى ارتفاع تركيز غاز الرادون في المطبخ عنه في باقي الغرف إلى التهوية السيئة والرطوبة عالية. وكذلك نلاحظ من الجدول (4-3) أن معدل تركيز غاز الرادون في حارة الشيخ مسلم بلغ حوالي ( $96.39 \text{ Bq/m}^3$ ) وينتج عن هذا التركيز جرعة فعالة مكافأة مقدارها (4.75 mSv/y).

أما في حارة القيسارية كما يشير الجدول (4-4) بلغ معدل تركيز الرادون ( $90.49 \text{ Bq/m}^3$ ) وينتج عن هذا التركيز جرعة فعالة مقدارها ( $4.45 \text{ mSv/y}$ ) وكان أعلى قيمة لتركيز غاز الرادون في المطبخ الذي وضع فيه الكاشف رقم (262) وبلغ مقدار تركيزه حوالي ( $147.2 \text{ Bq/m}^3$ ), بينما كانت أقل قيمة أيضاً في المطبخ الذي وضع فيه الكاشف رقم (320) وبلغ مقدار تركيز الرادون فيه حوالي ( $26.5 \text{ Bq/m}^3$ ), والسبب في ذلك أن مساحة بعض المطابخ كانت كبيرة وتحتوى على شبابيك ذو حجم مناسب وكبير نسبياً مما أدى إلى أن تكون التهوية فيها جيدة وبالتالي انخفاض تركيز غاز الرادون فيها، أما الحال في كنيسة السمرة كما يشير الجدول (4-5) فإن أعلى قيمة لتركيز غاز الرادون كان في المطبخ الذي وضع فيها كاشف رقم (339) وبلغ مقداره ( $182.6 \text{ Bq/m}^3$ ) بينما كانت أقل قيمة في غرفة الجلوس الذي وضع فيها كاشف رقم (329) وبلغ مقداره ( $53 \text{ Bq/m}^3$ ) ويعود السبب في اختلاف تركيز غاز الرادون في هذه الحارة إلى أن المطابخ كانت التهوية فيها سيئة مما أدى إلى ارتفاع تركيز غاز الرادون فيها عن باقي الغرف. في حين بلغ معدل تركيز غاز الرادون في كنيسة السمرة ( $105.71 \text{ Bq/m}^3$ ) وينتج عن هذا التركيز جرعة فعالة مكافئة مقدارها ( $5.28 \text{ mSv/y}$ ).

ويتبين نلاحظ من الجدول (4-6) أن أعلى قيمة لتركيز الرادون في حارة الأريون كانت في غرفة النوم الذي وضع فيها كاشف رقم (53) وبلغ مقداره ( $Bq/m^3$ ) وكانت أقل قيمة أيضاً في غرفة النوم الذي وضع فيها كاشف رقم (64) وبلغ مقداره ( $253.2 \text{ Bq/m}^3$ ), ويعود السبب في ارتفاع تركيز غاز الرادون في هذه الحارة أنها كانت مكتظة بالمباني وكانت معظم غرف النوم موجودة في الطابق الأرضي وكانت أرضيتها غير مبلطة مما يؤدي إلى زيادة تسرُّب غاز الرادون إلى داخل المنازل مباشرة<sup>(25)</sup>.

أما بالنسبة لحارة سوق الحدادين فيربينا الجدول (7-4) بأن أعلى قيمة لتركيز الرادون في غرفة النوم الذي وضع فيها كاشف رقم (105) وبلغ مقداره ( $202.6 \text{ Bq/m}^3$ ) في حين كانت أقل قيمة في غرفة الجلوس التي وضع فيها كاشف رقم (151) وبلغ مقداره ( $47.7 \text{ Bq/m}^3$ ) والسبب في أعلى قيمة يعود إلى المساحة

الصغيرة والرطوبة العالية، وكما نلاحظ من نفس الجدول أن معدل تركيز الرادون في حارة سوق الحدادين بلغ ( $105.7 \text{ Bq/m}^3$ ) ينبع عنه جرعة فعالة مكافئة مقدارها (5.28 . $\text{mSv/y}$

أما بالنسبة لحارة النصر كما يشير الجدول (4-8) فكانت أعلى قيمة لتركيز الرادون في غرفة النوم الذي وضع فيها كاشف رقم (81) وبلغ مقداره ( $187.9 \text{ Bq/m}^3$ ) في حين كانت أقل قيمة لتركيز غاز الرادون في المطبخ الذي وضع فيه كاشف رقم (109) وبلغ مقداره ( $60.7 \text{ Bq/m}^3$ )، ويتبين من نفس الجدول أن معدل تركيز غاز الرادون في حارة النصر بلغ مقداره ( $99.41 \text{ Bq/m}^3$ ) وينبع عن هذا التركيز جرعة فعالة مكافئة مقدارها (4.95  $\text{mSv/y}$ ). ويعود السبب في اختلاف تركيز غاز الرادون في هذه الحرارة إلى أن بعض الغرف كانت التهوية فيها سيئة مما يؤدي إلى ارتفاع تركيز غاز الرادون فيها وبعض الغرف كانت التهوية فيها جيدة مما أدى إلى انخفاض تركيز غاز الرادون فيها.

يتضح من الجدول (4-9) أن أعلى تركيز لغاز الرادون في غرف النوم بلغ ( $253 \text{ Bq/m}^3$ )، في حين كان أقل تركيز لغاز الرادون في غرف النوم ( $53 \text{ Bq/m}^3$ )، وكان معدل تركيز غاز الرادون في غرف النوم ( $101.78 \text{ Bq/m}^3$ ) وبلغ الانحراف المعياري لتركيز غاز الرادون في غرف النوم ( $43.50 \text{ Bq/m}^3$ )، كما كان أقل تركيز لغاز الرادون في المطابخ ( $26.5 \text{ Bq/m}^3$ )، فيما كان أعلى تركيز في المطابخ ( $182 \text{ Bq/m}^3$ )، أما معدل تركيز غاز الرادون في المطابخ فيبلغ ( $116.008 \text{ Bq/m}^3$ ). ونلاحظ من الانحراف المعياري لتركيز غاز الرادون في المطابخ ( $36.92 \text{ Bq/m}^3$ ). ونلاحظ من نفس الجدول أن أقل تركيز لغاز الرادون في غرف الجلوس كان ( $47.7 \text{ Bq/m}^3$ )، كما أن أعلى تركيز لغاز الرادون في غرف الجلوس ( $147 \text{ Bq/m}^3$ ) وكان الانحراف المعياري لتركيز غاز الرادون في غرف الجلوس حوالي ( $25.74 \text{ Bq/m}^3$ )، ويبدو أن معدل تركيز غاز الرادون في المطابخ أعلى من معدل تركيز غاز الرادون في غرف النوم والجلوس ويعود السبب في ذلك إلى أن التهوية في المطابخ كانت سيئة، أما بالنسبة لتركيز غاز الرادون في داخل منازل مدينة نابلس القديمة فقد بلغ المعدل الكلي لتركيز غاز الرادون ( $98.8 \text{ Bq/m}^3$ )، كما أثنا نلاحظ من الجدول إياه أن المتوسط العام

لتركيز غاز الرادون في المطابخ بلغ ( $116.008 \text{ Bq/m}^3$ )، وفي غرف النوم ( $101.78 \text{ Bq/m}^3$ )، في غرف الجلوس ( $79.92 \text{ Bq/m}^3$ )، ويعود ارتفاع تركيز غاز الرادون في المطابخ عنه في باقي الغرف إلى أن معدل مساحة المطابخ أقل من معدل مساحة الغرف الأخرى كذلك كانت الشبابيك ذات حجم صغير في المطابخ مقارنة مع باقي الغرف كذلك كانت الرطوبة فيها عالية، وهذه العوامل مجتمعة تؤدي زيادة تركيز غاز الرادون في المطابخ عن باقي الغرف الأخرى.

كما نلاحظ من الجدول (4-9) أن أعلى متوسط لتركيز غاز الرادون بلغ في المطابخ كان في حارة كنيسة السمرة وكان مقداره ( $143.3 \text{ Bq/m}^3$ )، في حين كان أقل متوسط لتركيز غاز الرادون في المطابخ التابعة لحارة سوق الحدادين وبلغ مقداره ( $68.9 \text{ Bq/m}^3$ )، ويعزى السبب في ذلك أن مساحة المطابخ التابعة لحارة كنيسة السمرة كانت صغيرة مقارنة مع باقي المطابخ في الحالات الأخرى وهذا يؤدي إلى أن يكون معدل التهوية سيئاً في هذه المطابخ.

وكما نلاحظ من الجدول نفسه أن أعلى متوسط لتركيز غاز الرادون في غرف النوم كان في لحارة الآريون وبلغ مقدارها ( $155.15 \text{ Bq/m}^3$ )، وكان أقل متوسط لتركيز غاز الرادون في غرف النوم التابعة لحارة كنيسة السمرة ( $76.42 \text{ Bq/m}^3$ )، وبعد الدراسة تبين أن معظم غرف النوم التي وضعت فيها المكافحة في حارة الآريون كانت في الطابق الأرضي مما يؤدي إلى ارتفاع تركيز غاز الرادون فيها عن بقية غرف النوم في الحالات الأخرى.

ونلاحظ من الجدول (4-9) أن أعلى متوسط لتركيز الرادون في غرف الجلوس كان في حارة السمرة وبلغ مقداره ( $106 \text{ Bq/m}^3$ )، وكان أقل متوسط لتركيز غاز الرادون في غرف الجلوس في حارة الياسمين حيث بلغ ( $57 \text{ Bq/m}^3$ )، ويعود ارتفاع تركيز غاز الرادون في غرف الجلوس في حارة السمرة إلى أن الغرف كانت أرضيتها غير مبلطة مما يؤدي إلى زيادة تركيز غاز الرادون فيها عن بقية غرف الجلوس في الحالات الأخرى.

ومن الجدول (4-9) نلاحظ أن متوسط تركيز غاز الرادون في مختلف الحالات يتراوح بين ( $81.31 \text{ Bq/m}^3$ ) في حارة الآريون إلى ( $135.72 \text{ Bq/m}^3$ ) في حارة الياسمين، ويعود ارتفاع تركيز غاز الرادون في حارة الآريون عنه في باقي الحالات

إلى أن معظم الكواشف التي وزعت في هذه الحالات كانت موضوعة في الطابق الأرضي، كذلك فإن معظم منازل هذه الحارة كانت أيضاً غير مبلطة، وهذا يؤدي إلى زيادة تسرب الرادون من الأرضية إلى المنازل مباشرةً كذلك كان معدل التهوية في هذه الحارة سينماً مقارنة مع بقية الحالات، ونلاحظ من نفس الجدول أن متوسط تركيز غاز الرادون أيضاً كان عالي في حارة السمرة وبلغ مقداره ( $105.41 \text{ Bq/m}^3$ ) وحارة سوق الحدادين حيث بلغ مقداره ( $105.71 \text{ Bq/m}^3$ ) ويعود السبب في ارتفاع تركيز الرادون في هذه الحالات أن معدل التهوية كان سينماً كذلك كانت الطرق بين المنازل لا تحتوي على طبقة من الاسفلت وهذا يزيد من تسرب غاز الرادون في هذه الحالات عنه في باقي الحالات الأخرى.

وكذلك فإن الحالات التي كان فيها تركيز الرادون عالياً وهي حارة الآريون وحارة السمرة وحارة الحدادين كانت مكتظة بالمباني وهذا يؤدي إلى أن تكون التهوية فيها سيئة.

أما في حارة الباسمين فكان متوسط تركيز الرادون منخفضاً مقارنة مع باقي الحالات ويعود السبب في ذلك إلى أن الكواشف التي وزعت في هذه الحارة كان معظمها موضوعاً في الطوابق العلوية وهذا يعزى إلى أن التهوية فيها أفضل من باقي الحالات.

كذلك نلاحظ من الجدول (4-11) أنه توجد فروق ذات دلالة إحصائية ( $\alpha = 0.05$ ) في مستوى تركيز غاز الرادون بين المطبخ وغرف الجلوس في حارة الباسمين حيث بلغ متوسط تركيز الرادون في المطبخ ( $115.8 \text{ Bq/m}^3$ ) بينما كان المتوسط في غرف الجلوس ( $57 \text{ Bq/m}^3$ )، ويعود السبب في ارتفاع تركيز غاز الرادون في المطبخ عنه في غرف الجلوس إلى أن التهوية في المطبخ كانت سينماً مقارنة مع غرف الجلوس، ويمثل الشكل رقم (4-3) هذه الفروق.

ويتبين من الجدول (4-12) أنه توجد فروق ذات دلالة إحصائية في مستوى تركيز غاز الرادون في حارة الشيخ مسلم بين المطبخ وغرف الجلوس لصالح المطبخ ووصل متوسط تركيز غاز الرادون في المطبخ ( $117.31 \text{ Bq/m}^3$ ) بينما وصل في غرف الجلوس إلى ( $76.06 \text{ Bq/m}^3$ ) ويعود ارتفاع تركيز غاز الرادون في المطبخ

عنه في غرف الجلوس إلى نفس الأسباب المذكورة ومثل هذه الفروق تظهر في الشكل رقم (4-4).

كما نلاحظ من الجدول (13-4) أنه توجد فروق ذات دلالة إحصائية في تركيز غاز الرادون بين المطابخ وغرف الجلوس في جميع مناطق نابلس القديمة لصالح المطابخ وبلغ مقداره ( $116.008 \text{ Bq/m}^3$ ) وفي غرف الجلوس بلغ مقداره ( $79.92 \text{ Bq/m}^3$ ) ويعود السبب إلى ارتفاع تركيز غاز الرادون في المطابخ عنه في الغرف الأخرى إلى أن التهوية في المطابخ تكون دائمة سينة وقد تبين من دراسات سابقة أن أفران الطبخ ومواسير المياه تساعد في زيادة تركيز غاز الرادون في المطابخ عنه عن باقي الغرف<sup>(27)</sup>، ويمثل الشكل رقم (4-5) الفروق في تركيز غاز الرادون في جميع مناطق نابلس القديمة.

ونلاحظ من خلال عرض النتائج السابقة أن أعلى قيمة لتركيز غاز الرادون كان مقداره ( $253 \text{ Bq/m}^3$ )، وبعد الدراسة تبين أن المنزل الذي كان فيه هذا التركيز عاليًا يعاني من التهوية السيئة وكذلك كانت الأرضية غير مبلطة والجدران لا تحتوي على طبقة من الدهان وكان يوجد خلف هذا المنزل حمامات مياه، وقد تبين من دراسات سابقة أن هذه العوامل تؤدي إلى ارتفاع تركيز غاز الرادون<sup>(2)</sup>.

ومن خلال عرض النتائج نلاحظ أن المعدل الكلي لتركيز غاز الرادون في منازل مدينة نابلس القديمة قد بلغ ( $98.8 \text{ Bq/m}^3$ ) وينتج عن هذا التركيز جرعة فعالة مكافئة مقدارها ( $4.94 \text{ mSv/y}$ ).

وبمقارنة تركيز غاز الرادون في منازل مدينة نابلس القديمة مع النتائج التي تم التوصل إليها في أماكن مختلفة من العالم، نلاحظ أن معدل تركيز غاز الرادون في داخل منازل مدينة نابلس القديمة أعلى من معدل تركيز غاز الرادون في المملكة العربية السعودية بتسعة إلى عشرة أضعاف ويعد السبب في ذلك إلى أن الظروف المناخية التي أجريت بها الدراسة في المملكة العربية السعودية كانت خلال فصل الصيف ومع استخدامات المكيفات والمراوح العمودية داخل المنازل فإن ذلك يؤدي إلى وجود التهوية الجيد وبالتالي يؤدي إلى انخفاض تركيز غاز الرادون في المملكة العربية السعودية<sup>(31)</sup>.

وقد وجد أيضاً أن التصميم المنزلي وظروف المنزل والمواد المستخدمة في البناء تلعب دوراً على اختلاف تركيز غاز الرادون في الأماكن المختلفة، فمثلاً فإن تركيز غاز الرادون في منازل مدينة نابلس القديمة أقل من معدل تركيز غاز الرادون في منازل بلدة المغارعية في الأردن حيث بلغ مقداره ( $119.9 \text{Bq/m}^3$ ) ويعود السبب في ذلك إلى نوعية التربة المحيطة بمنازل بلدة المغارعية إذ تحتوي على نسبة عالية من اليورانيوم وكذلك فإن نفاذية تربة المغارعية لغاز الرادون عالية<sup>(30)</sup>، وأيضاً فإن طبيعة الموقع الجغرافي والمناخ ونوعية التصميم للبناء من حيث عدد النوافذ ونوعية مواد البناء تلعب دوراً كبيراً في اختلاف تركيز غاز الرادون في بلدة المغارعية عنه في مدينة نابلس القديمة.

أما في الولايات المتحدة الأمريكية فقد بلغ معدل تركيز غاز الرادون ( $50 \text{Bq/m}^3$ ) وهو أقل من معدل تركيز غاز الرادون في منازل مدينة نابلس القديمة، ويعود السبب إلى التهوية السيئة بسبب الأبنية المكتظة وطريقة البناء في مدينة نابلس القديمة.

وتشير الدلائل أن المعدل الكلي لتركيز غاز الرادون في منازل مدينة نابلس القديمة أقل من المستوى المسموح به في الولايات المتحدة الأمريكية الذي يبلغ ( $150 \text{Bq/m}^3$ ). ولكن بنفس الوقت فقد أمكن الكشف عن تراكيز أعلى من المستوى المسموح به في الولايات المتحدة الأمريكية ويعود السبب في ذلك إلى التهوية السيئة. أما بالنسبة للجرعة المكافئة الكلية والتي بلغت ( $4.94 \text{mSv/y}$ ) فإنها أعلى من المعدل العالمي للجرعة الفعالة والتي تساوي ( $1.3 \text{mSv/y}$ )<sup>(32)</sup>.

وكما ذكرنا سابقاً فإن زيادة تركيز غاز الرادون يؤدي إلى زيادة احتمال الإصابة بسرطان الرئة وسنقوم بحساب معامل الخطير للإصابة بسرطان الرئة بناءً على المعادلة التالية:

$$\text{Lung Cancer Coefficient Risk} = 1.5 \times 10^{-4} / (\text{WLM} / \text{Life}) \quad (1-5)$$

حيث (WLM): مستوى العمل الشهري.

وقد قمنا بوضع الفرضيات التالية الخاصة بالذكور والإناث في المناطق التي تم دراسة تركيز غاز الرادون فيها من حيث متوسط العمر ومدة العمل أو البقاء في المنزل.

- متوسط عمر الرجال = 60year
- متوسط عمر الإناث = 65year
- الرجل يعمل بمعدل (8) ساعات يومياً.
- المرأة تبقى طوال الوقت في البيت (لا تعمل).
- الفترة الزمنية التي بدأ العيش بها في المنزل = 20year

وبناء على الفرضيات السابقة يمكن حساب عدد السنوات التي يمكث بها كلا من الذكور والإناث داخل المنزل طوال فترة حياتهما.

Working years = 27 year              for male  
Life

Working years = 45 year              for female  
Life

وأيضا يمكن حساب عدد الشهور التي يبقى بها الذكور والإناث داخل المنزل طوال السنة.

Working month = 8 months              for male  
Year

Working month = 12 months              for female  
Year

وبناءً على المعلومات السابقة يتم حساب ما يلي:

Working level month per life (WLM/Life) & Working level month per year (WLM/year)

وذلك باستخدام المعادلات التالية<sup>(21)</sup>:

$$\frac{WLM}{life} = \frac{WLM}{year} \times \frac{working years}{life} \quad (2-5)$$

$$\frac{WLM}{Year} = WLM \times \frac{working months}{Year} \quad (3-5)$$

$$WLM = WL \times \frac{hours exposed}{working months} \quad (4-5)$$

$$WL = F \times \frac{C_{RN}}{100} \quad (5-5)$$

F: equilibrium factor between radon and its short –lived which is taken to be (0.5)<sup>(8)</sup>.

$C_{RN}$ : radon concentration in PCi /L ( $PCi/L = 37 Bq/m^3$ )

ومن خلال المعادلة (1-5) يتم حساب (Lung cancer coefficient risk) (Lung cancer coefficient risk) والجداول (1-5)، (2-5) يوضح معامل الخطير للإصابة بسرطان الرئة للذكور والإثاث على التوالي الناتج من تركيز غاز الرادون في هواء مدينة نابلس القديمة.

### الجدول (1-5)

**Lung cancer coefficient risk and working level for male in old city of Nablus**

معامل الخطير للإصابة بسرطان الرئة lung cancer risk x 10	مستوى العمل الشهري طول الحياة WLM/ life	مستوى العمل الشهري في السنة WLM/Y	مستوى العمل الشهري WLM	مستوى العمل WL	تركيز غاز الرادون Pci/L	الموقع
10.04	6.7	0.248	0.01399	0.01099	2.198	حارة الياسمين
11.9	7.934	0.244	0.0367	0.01303	2.61	حارة الشيخ مسلم
11.2	7.45	0.28	0.0345	0.0122	2.5	حارة القسارية
13.02	8.7	0.3214	0.0402	0.01424	2.85	حارة للسمرة
16.76	11.17	0.4137	0.0517	0.01834	3.67	حارة الأربيون
13.1	8.7	0.3223	0.04028	0.0143	2.86	حارة الحدادين
12.3	8.183	0.3031	0.0379	0.0157	2.69	حارة النصر
12.2	8.13	0.301	0.38	0.134	2.67	المعدل العام

الجدول (2-5)

**Lung cancer coefficient risk and working level for female in old city of Nablus**

الموقع	تركيز غاز الرادون Pci/L	مستوى العمل WL	مستوى العمل WLM	مستوى العمل في السنة WLM/Y	مستوى العمل الشهري في الحياة WLM/life	معامل الخطر للإصابة بسرطان الرئة lung cancer risk x 10 <sup>-4</sup>
حارة الياسمين	2.198	0.01099	0.0465	0.56	25.13	37.7
حارة الشيخ مسلم	2.61	0.01303	0.055	0.66	29.8	44.8
حارة القسارية	2.5	0.0125	0.053	0.64	28.6	42.9
حارة السمرة	2.85	0.143	0.060	0.72	32.6	48.9
حارة الأربيون	3.67	0.018	0.077	0.93	41.96	63
حارة الحدابين	2.86	0.0143	0.061	0.73	32.7	49.1
حارة النصر	2.69	0.0134	0.057	0.68	30.8	46
المعدل العام	2.67	0.0134	0.0565	0.687	30.5	45.8

وتجدر الإشارة إلى أن التعرض لترانكيز عالية ولمدة طويلة خطراً على صحة الإنسان، إذ يؤدي زيادة احتمالية الإصابة بسرطان الرئة<sup>(21)</sup>. فلو تتبينا الجدول (1-5) المتعلق باحتمالية الإصابة بسرطان الرئة للذكور وعلاقتها مع تركيز غاز الرادون لوجدنا أن أعلى تركيز لغاز الرادون في حارة الأربيون (3.67 Pci/L)، وهذا يؤدي إلى زيادة احتمالية الإصابة بسرطان الرئة بمعدل (0.1676%). في المقابل كان أقل تركيز لغاز الرادون في حارة الياسمين (2.198 Pci/L)، وعليه يكون احتمالية الإصابة بسرطان الرئة بمعدل (0.1004%) في حين بلغ المعدل العام لتركيز غاز الرادون في مدينة نابلس القديمة (2.67 Pci/L) وهذا يؤدي إلى احتمالية الإصابة بسرطان الرئة بمعدل (%0.122).

في المقابل نلاحظ من الجدول (5-2) أعلى معامل للإصابة بسرطان الرئة في حارة الأربيون (3.67 Pci/L)، وهذا يؤدي إلى احتمالية الإصابة بسرطان الرئة بمعدل (%0.63)، أما بالنسبة لحارة الياسمين والتي كان فيها أقل تركيز لغاز الرادون (2.198 Pci/L)، فإن احتمالية الإصابة بسرطان الرئة كانت بمعدل (%0.377)، أما بالنسبة

للمعدن العام لتركيز غاز الرادون بلغ (2.67 Pci/L) وهذا يؤدي إلى زيادة احتمالية الإصابة بسرطان الرئة بمعدل (0.458 %) للإناث.

وبعد الدراسة ومن خلال عرض النتائج في الجدولين السابقين تبين أن معامل الإصابة بسرطان الرئة يتناسب طردياً مع تركيز غاز الرادون. وكما نلاحظ أيضاً من نفس الجدولين أن احتمالية الإصابة بسرطان الرئة عند الإناث أكبر منها عند الذكور ويعزى السبب في ذلك إلى أن الإناث تمكث في داخل المنازل أكثر من الذكور وهذا يؤدي إلى التعرض بشكل أكبر إلى غاز الرادون أكثر من الذكور، وبالتالي ازدياد احتمالية الإصابة بسرطان الرئة.

## الفصل السادس

### الاستنتاجات والتوصيات

تشير النتائج التي تم الحصول عليها أن أعلى تركيز لغاز الرادون كان في حارة الأربيون وبلغ معدله ( $135.72\text{Bq}/\text{m}^3$ ) والذي ينتج عنها جرعة فعالة مكافئة مقدارها ( $6.79\text{mSv}/\text{y}$ ) وأقل تركيز لغاز الرادون كان في حارة الياسمين حيث كان معدله يساوي ( $81.31\text{ Bq}/\text{m}^3$ ) والذي ينتج جرعة فعالة مكافئة مقدارها ( $4.07\text{mSv}/\text{y}$ ) كما لاحظنا زيادة تركيز غاز الرادون في المطابخ عنه في غرف النوم والجلوس في مدينة نابلس القديمة حيث كان متوسطه في المطابخ يساوي ( $116.008\text{Bq}/\text{m}^3$ ) والذي ينتج جرعة فعالة مكافئة سنوية مقدارها ( $5.8\text{mSv}/\text{y}$ ) في حين بلغ معدل تركيزه في غرف النوم وغرف الجلوس ( $101.78\text{Bq}/\text{m}^3$ ) و ( $79.92\text{Bq}/\text{m}^3$ ) على التوالي، وينتج عن هذه التراكيز جرعة فعالة مكافئة سنوية مقدارها ( $5.09\text{mSv}/\text{y}$ ) و ( $3.99\text{ mSv}/\text{y}$ ) على الترتيب وقد وجد أن معدل تركيز غاز الرادون الكلي في هواء مدينة نابلس القديمة كان حوالي ( $98.8\text{Bq}/\text{m}^3$ ) أو ( $2.7\text{Pci/L}$ ) وينتج عن هذا التركيز جرعة فعالة سنوية مقدارها ( $4.94\text{mSv}/\text{y}$ ).

وتتجدر الإشارة أن بعض المنازل تحوي تراكيز عالية لغاز الرادون والذي يعتبر أعلى من التركيز المسموح به في الولايات المتحدة الأمريكية والذي يساوي ( $150\text{Bq}/\text{m}^3$ ).

وبناء على ما تقدم لا بد أن نقترح بعض التوصيات التي يمكن اتباعها لكي نتمكن من تقليل مستوى تركيز غاز الرادون في هواء منازل مدينة نابلس القديمة والتي من الممكن اتبعها بشكل عام في فلسطين، وذلك باتباع الخطوات الآتية:

- 1- تهوية المنازل بشكل جيد مع مراعاة جعل مساحة النوافذ كبيرة نسبياً وزيادة عددها.
- 2- طلاء الجدران بطلاء بلاستيكي بشكل جيد لمنع تسرب غاز الرادون من الجدران إلى داخل المنازل.

- 3- استخدام البلاط والأسمدة المسلح أو السجاد والمكبات في تغطية أرضية المنازل لأن ذلك يقلل من تسرب غاز الرادون من التربة إلى داخل المنزل مباشرة<sup>(33,34)</sup>.
- 4- رفع أرضية المبني عن الأرض وعدم جعلها متصلة مباشرة مع التربة لتقليص تسرب غاز الرادون إلى داخل المنازل لأن التربة غنية باليورانيوم المشع الذي يعتبر المصدر الرئيسي لغاز الرادون.
- 5- تغطية الطريق بين الحارات بطبقة من الأسفلت لأنها تسرب غاز الرادون من باطن الأرض إلى الهواء الخارجي.
- 6- معالجة هواء المبني بتقنيته من غاز الرادون عن طريق استخدام المراوح العمودية التي تزيد من حركة الهواء عن طريق الحمل<sup>(33,34)</sup>.
- 7- تجنب استخدام مواد البناء التي تطلق كميات كبيرة من هذا الغاز المشع في المبني التي تقام وامكانية إضافة شرط جديد من قبل البلديات لترخيص الأبنية وهو الحصول على مستوى تركيز غاز الرادون في الأحياء السكنية المخططة مستقبلاً.
- 8- ضرورة أن يكون هناك دراسات لاحقة حتى يتم تعزيز هذه الدراسة التي تعتبر الخطوة الأولى في قياس تركيز غاز الرادون في داخل منازل دولة فلسطين.

#### **أعمال مقتراحه:**

إن هذه الدراسة لم تأخذ كافة التفاصيل الخاصة بالمنازل في الاعتبار من حيث حجم المنزل ومساحة الغرف وعمر البناء وعدد أفراد الأسرة وتاثير الضغط داخل وخارج المنزل إلا أنها تبقى دراسة تمهدية مهمة، نأمل أن يعقبها دراسات مستقبلية تأخذ التفاصيل المذكورة أعلاه في الاعتبار. كذلك اقتراح إجراء دراسات أخرى لقياس تركيز غاز الرادون في هواء مدن فلسطينية أخرى.

## *Reference*

- 1- David Austen and Wytze Brouwer .(1996). Radioactive balloons : experiments on radon concentration in schools or homes. New Approaches, 4, 97-107.
- 2- Ahmed, J.U, IAEA Bulletin. (1991). High levels of natural radiation : Report of an international conference in Ramser , 33(2), 36-38.
- 3- محمد فاروق احمد ، احمد محمد السريع . (1998) . اسس الفيزياء الاشعاعية ، المجلة - العربية السعودية : جامعة الملك سعود .
- 4- B.L. Chohen .(1986). Health phys, 51,175.
- 5- L. Brown, B.M.R. Green, J.C.H. Miles and A.D. wrixon. (1984). In Proccnff. On indoor Air stokholm Sweden. 20-24.
- 6- G. Fulan, L. Tommasino. (1993). Radon Monitoring in radioprotection, Environmental and or Erth Sciences, World scientific publishing Co.Pte.Ltd.
- 7- Falah A. Abu Jard . (1988). Nucl. Tracks meas. 15, (1-4), 525.
- 8- K. Abu murad, B. Al – Bataina , A. Ismail, M.Kullab, and A. Aloosy . (1997). A study radon levels. In Jordenian dwellings during an autumn season, Radiation protection Dosimetry, 69, 3, 221-226.

- 9- Fakhri L. Hasan .(1996). Indoor radon concentration measurements at Hebron university campus : A case study. (1996) . An-Najah J. Res, 4 (10), 92-107.
- 10- Raymond A.serway .(1990). Physics for science and engineers with modern physics (3<sup>rd</sup>ed.) (PP.1343-1408). U.S.A: Raymond A. Serway.
- 11- Kennths, Kranc. (1988). Introduction to Nuclear physics (PP.160-361). New York. Wiley.
- 12- Irving Kaplan .(1962). Nuclear physics (2<sup>nd</sup> Edition) (PP. 197-442). Reading, Mass: Addison- Wisely.
- 13- Ralphe. Lapp, Howard L.Andrews.(1972). Nuclear Radiation' physics, (4<sup>th</sup> Edithion) (PP. 100-250). Englewood Cliffs, New Jersey: Prentice, Hall. Inc.
- 14- محمد فاروق احمد محمد ، د. احمد محمد السريع . (1982) . الاشعاعات المؤينة . خصائصها وتأثيرها واستخداماتها ، المملكة العربية السعودية: جامعة الملك سعود.
- 15- فخرى اسماعيل حسن . (1980) . الاشعاع المؤين وظاهره النشاط الاشعاعي . الجزائر: ديوان المطبوعات الجامعية .
- 16- احمد محمد خليل ، الاشعاع المؤين ، خصائصه واستخداماته وتأثيراته الحيوية ، الادرن : جامعة اليرموك .

- 17- William. Ehmann, and Dinee. Vace .(1991). Radiochemistry and Nuclear Methods of Analysis. (pp. 1-200). U.K: John Wisely and Sons Inc.
- 18- ICRP .(1991). The (1990) Recommendation of the International commission on Radiological protection, ICRP publication 26, pergam on press, Newyork.
- 19- G. Jonsson. (1995). Radon gas – Where from and what to do? Radiation Measurements, 25, 1-4 , 537 – 546.
- 20- NCRP Report (77). (1984). Exposures from the Uranium Series with Emphasis on Radon and Its Daughters National council on Radiation protection and Measurements, Bethesda, Maryland.
- 21- NCRP Report (97). (1988). Measurement of Radon and Radon Daughters in Air. National Council on Radiation protection and Measurement, Bethesda, Maryland.
- 22- Jasimuddin , U. Ahmed .(1994). Radon in the human environment : Assessing the picture , IAEA Bulletin, 36(2) (32).
- 23- Rirchad, H.M and Gesse. T .(1997). Health phys.33, 577.
- 24- D.A Holaday .(1969). Helth phys. 16, 547 .
- 25- F. Abu- Jarad, J.H. Fremlnu and R.K. Bull .(1980). Phys, Med. Bio, 25, 43 , 683.

- 26- J.B. Bcenner.(1989). Radon Risk and Remedy, Freeman, W.H. and Company, Freeman W.H. and Company, Newyork and oxford.
- 27- Householders Guide.(1988). Department of the environment (3<sup>th</sup>edi). U.K.
- ابراهيم عثمان ، محمد حشرى ، غسان رجا ، تقدير أولي لمستوى تركيز الرادون في منازل ومكاتب مناطقين مختلفتين في سوريا ، تقرير علمي نشر في المؤتمر الدولي الذي عقد في رامسار - ايران تشرين الثاني (1990) ، حول السويات العليا للإشعاع الطبيعي .
- 29- S.A. Durran, R.K., Bull. (1987). Solid State Nuclear Track Detection, "principles Method and Application" pergamom press.
- 30- Naiema Ahmed Mohammed Khader, B. AL- Bataina .(1998) measurement of Radon levels in soil and dwellings of AL. Mukaria Town AL- ShoBack, Yarmouk University Faculty of Science- Department of Phys.
- 31- F. Abu- Jarad and M.I Al- Jarallh .(1986). Radiation protection Dosimetry. 14, 3, 243.
- 32- E. Toth. F. Deak C.S. Gyurkocza, R. Kucz, C.s Suko G.Toth, N. vojda. (1997). Radon Variations in a Hungarian Village, Environmental Geology. 31, (1/2) (123-127).

- 33- Leo M. Lowe and Douglas B. Chambers .(1996). Comment on ICRP recommendations on radon and revised background doses from radon. Environmental International, 22, Suppl. 1, S1037 – S1044.
- 34- F. Abu-Jarad and R.G Sextro.(1998). Nucl Tracks Radiat Meas. 15, (1-4), 535.

## *Abstract*

### *Indoor Radon Concentration Measurement in Homes in Old City of Nablus*

The indoor radon concentrations in the old city of Nablus have been measured by using Solid State Nuclear Track Detectors (SSNTDs). After ninety days, the (SSNTDs) were collected and etched chemically by (6.25 N) NaOH solution for an hour at a temperature of ( $98 \pm 2$ ) C°.

The number of tracks per unit area in each detector was measured by using an optical microscope with 100 magnification power.

It was found that the radon concentrations vary between (81.31 Bq/m<sup>3</sup>) to (135.72 Bq/ m<sup>3</sup>).

The values of the average radon concentration inside the kitchens, sleeping and setting rooms are (116.01 Bq/ m<sup>3</sup>), (101.78 Bq/ m<sup>3</sup>), and (79.92 Bq/m<sup>3</sup>), respectively.

The total average radon concentration in homes in the old city of Nablus is found to be equal (98.8 Bq/m<sup>3</sup>) which corresponds to an average effective dose equivalent of (4.94mSv/y), which is higher than the globally accepted value of (1.3 mSv/y). Poor ventilation is believed to be the main reason for the elevated indoor radon concentrations in the homes of Nablus old city